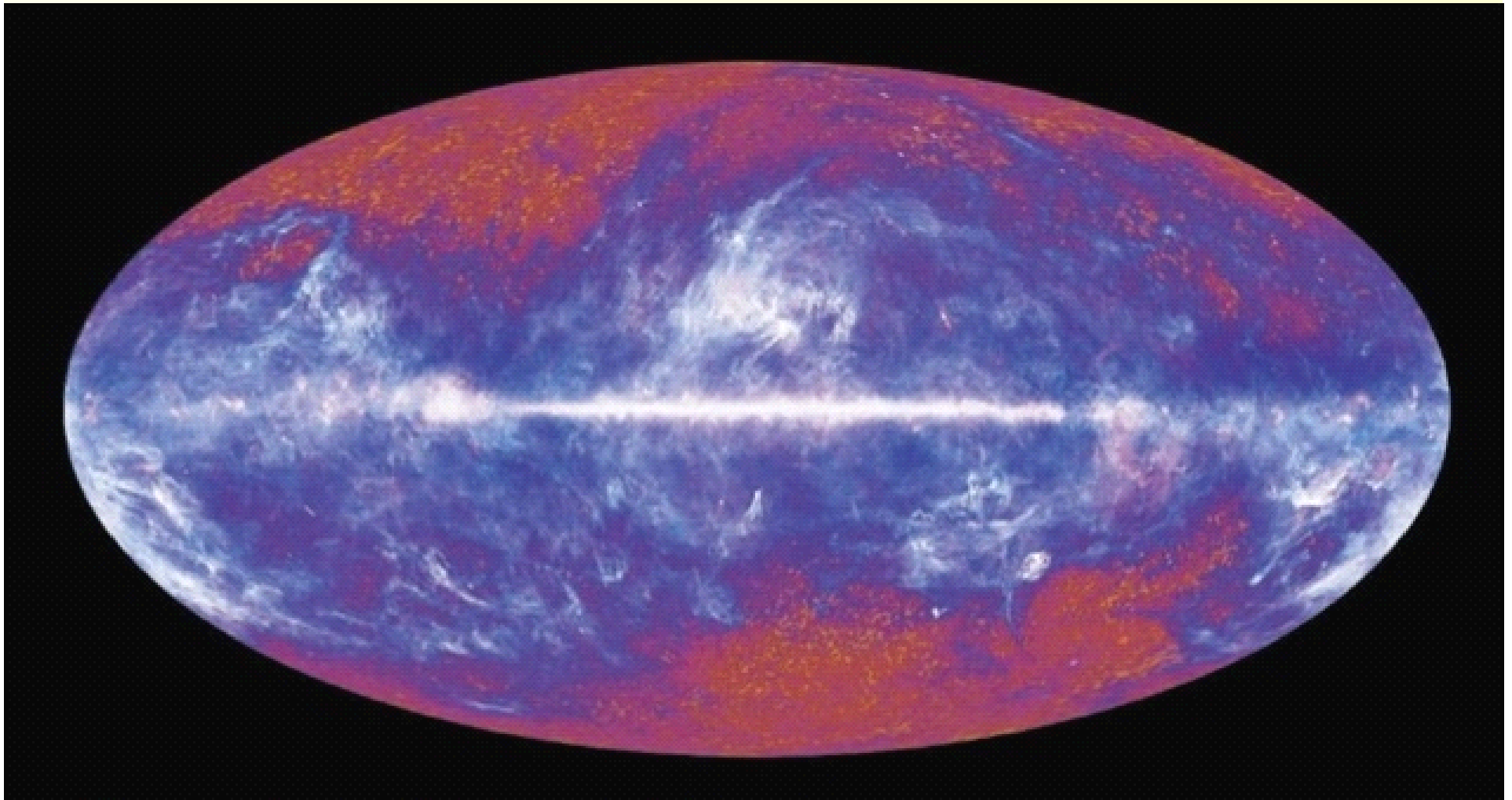


漫长漫长的未来，时空归于死寂。唯智能计算机用残存的能量思考人类留下的最后一个问题：如何逆转熵。终于得出答案。它编好程序，说：要有光。于是就有了光。

——阿西莫夫《最后的问题》



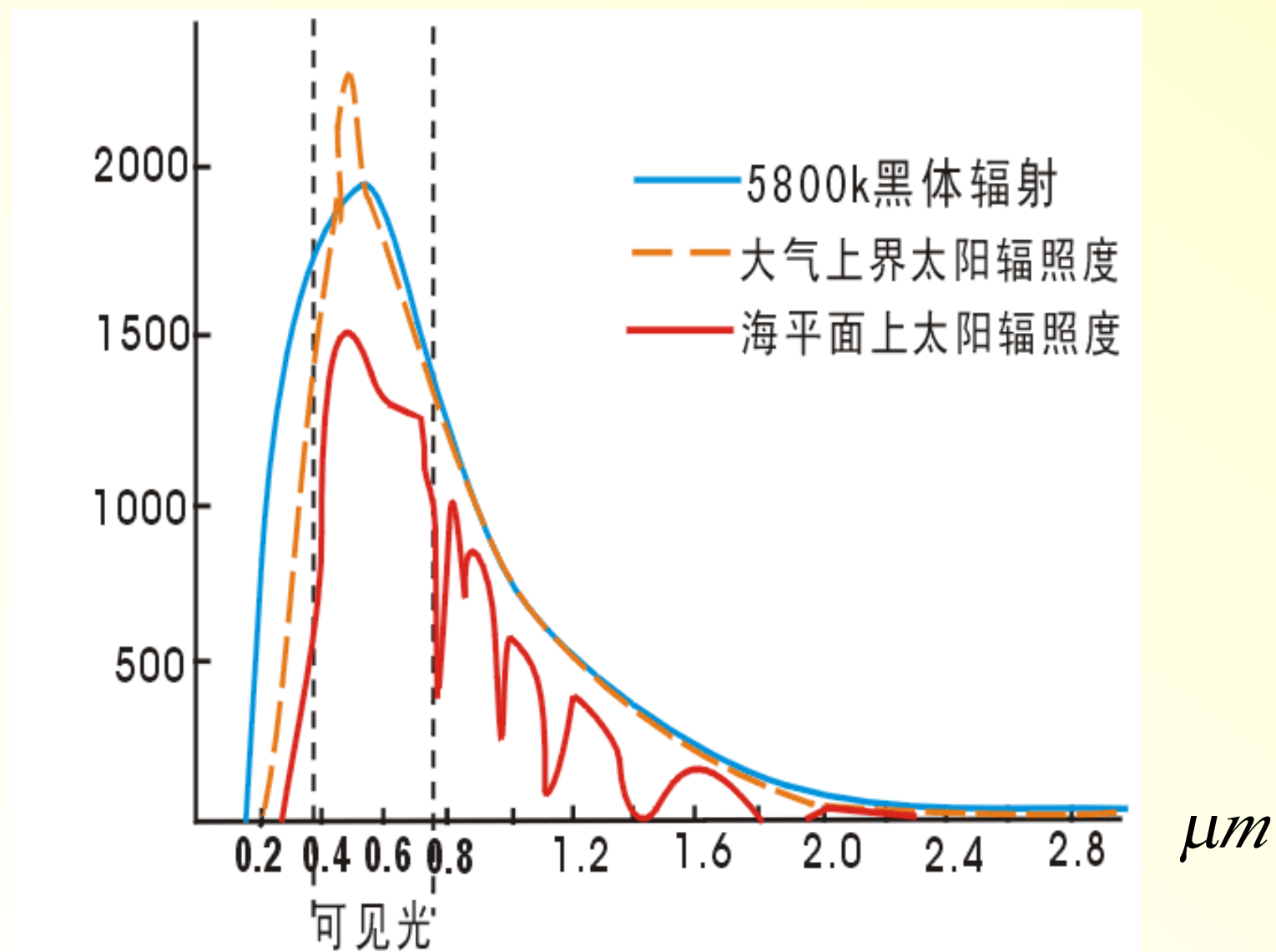
第13章 光的干涉





乌贼和章鱼的伪装
原理
——光的干涉

可见光的透射谱



引言

※光是人类生存的基础

几何光学 → 波动光学 → 量子光学

十七世纪初：光的折射和反射定律

十七世纪末： 牛顿——微粒说

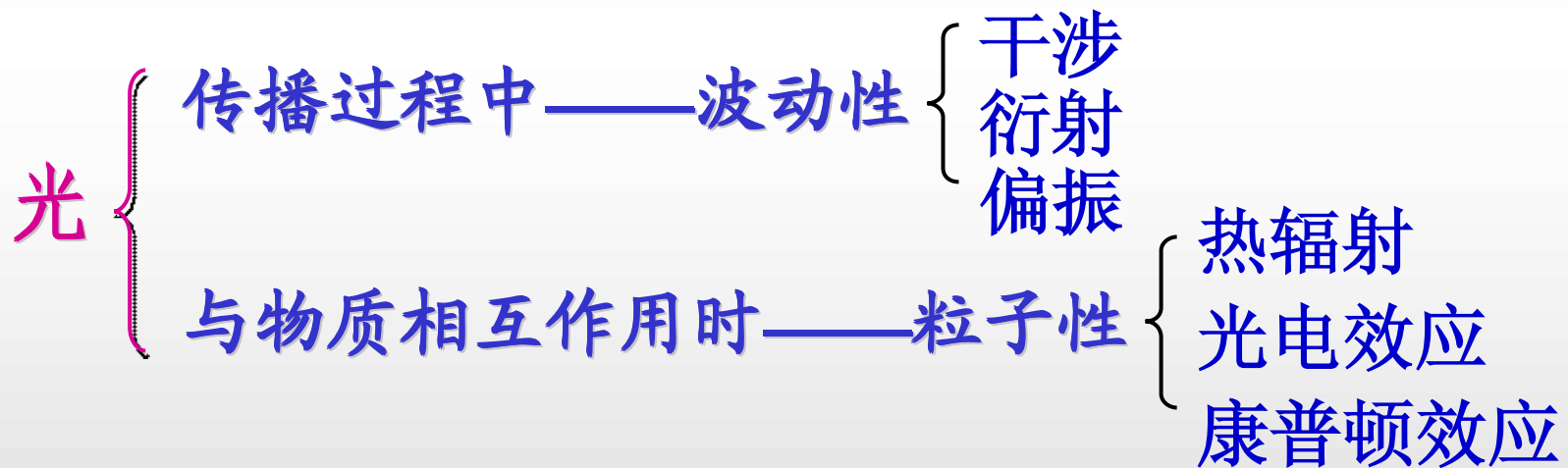
惠更斯——波动说

十九世纪初： 光的 { 干涉
衍射
偏振

十九世纪末： 光波——电磁波

1905年：光电效应 ➡ 光子假说

二十世纪三十年代：光具有“波粒二象性”



光在空间传播

相遇

叠加

光强变化	不变	非相干
	加强	
	减弱	相干

什么引起了光强变化?

位相差 $\Delta\varphi = \frac{\Delta n r}{\lambda} 2\pi$

什么引起了位相差的变化?

光程差 $\delta = n_2 r_2 - n_1 r_1$

人在人生道路上

相遇

婚姻

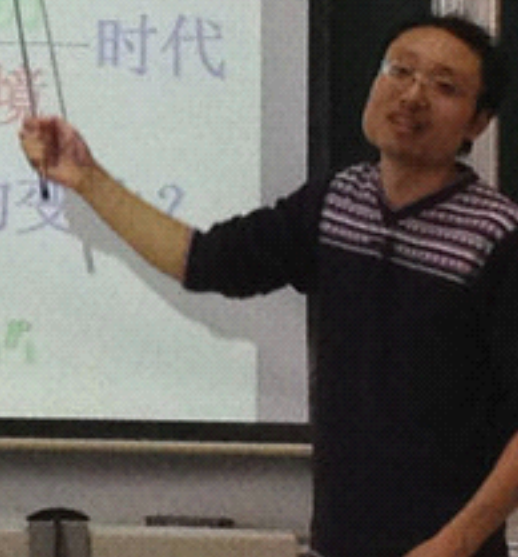
生活变化	平淡	非相干
	幸福	
	痛苦	相干

什么引起了生活变化?

性格差 $\Delta\varphi = \frac{\text{经历}}{\text{环境}} \text{时代}$

什么引起了性格差的变化?

经历差 $\delta = n_2 r_2 - n_1 r_1$



§ 13.1 光的相干性

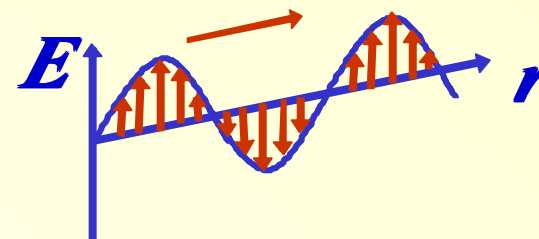
一、光的性质

1. 光是一种波（电磁波）

$$\lambda \cdot \nu = c$$

波长 频率 真空中的光速

$$c = \frac{1}{\sqrt{\epsilon_0 \mu_0}} = 3.00 \times 10^8 \text{ m/s}$$



2. 光是横波

光矢量：光波是矢量 E 和 H 在空间的传播。其中参与物质相互作用的是 E 矢量，称为光矢量。

光矢量的表述
(单色光):

$$\underline{E} = \underline{E_0} \cos\left(\underbrace{\omega t}_{\text{时间位相}} - \underbrace{\frac{2\pi}{\lambda} \cdot r}_{\text{路程位相}} + \underbrace{\varphi_0}_{\text{初位相}}\right)$$

光矢量

光矢量振幅

时间
位相

路程位相

初位相

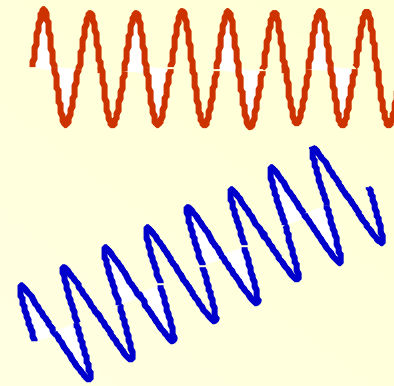
光强

$$I \propto \overline{E_0^2}$$

两列波在空间相遇

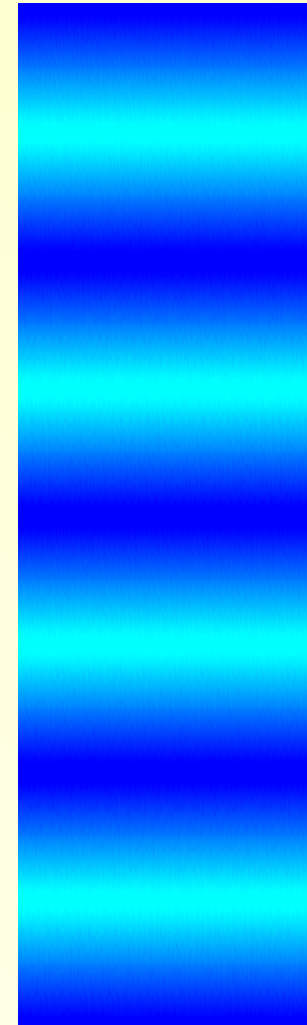
满足相干条件：

{ 振动方向相同
频率相同
位相差恒定



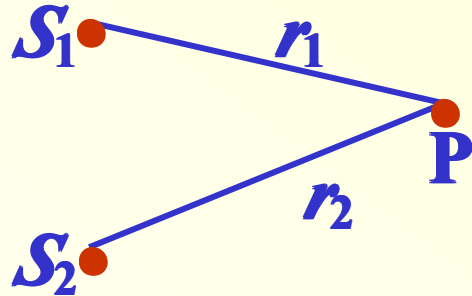
在相遇区域内，有些点振动加强，有些点振动始终减弱，形成强弱交替的稳定分布，这就是干涉。

对于光波，干涉现象表现为干涉区域内，振动加强的点为亮点，振动减弱的点为暗点，形成明暗相间的干涉条纹。



三、光的不相干叠加与相干叠加

两列频率相同、振动方向相同的单色光，光源距叠加点的距离分别为 r_1 和 r_2 ，则叠加点的光矢量：



$$E_1 = E_{10} \cos\left(\omega t - \frac{2\pi}{\lambda} \cdot r_1 + \varphi_{10}\right)$$

$$E_2 = E_{20} \cos\left(\omega t - \frac{2\pi}{\lambda} \cdot r_2 + \varphi_{20}\right)$$

叠加后 $E = E_1 + E_2 = E_0 \cos\left(\omega t - \frac{2\pi}{\lambda} \cdot r + \varphi_0\right)$

$$\mathbf{E}_0^2 = \mathbf{E}_{10}^2 + \mathbf{E}_{20}^2 + 2\mathbf{E}_{10}\mathbf{E}_{20} \cos(\Delta\varphi) \quad \Delta\varphi = \varphi_{20} - \varphi_{10} - \frac{2\pi}{\lambda}(r_2 - r_1)$$

观测时间 $T(\sim 0.1\text{s}) \gg \tau(\sim 10^{-8}\text{s})$ 波列时间

$$I \propto \overline{E_0^2} = \frac{1}{T} \int_0^T E_0^2 dt = E_{10}^2 + E_{20}^2 + 2E_{10}E_{20} \frac{1}{T} \int_0^T \cos(\Delta\varphi) dt$$

$$I = I_1 + I_2 + 2\sqrt{I_1 I_2} \frac{1}{T} \int_0^T \cos(\Delta\varphi) dt$$

$$I = I_1 + I_2 + 2\sqrt{I_1 I_2} \frac{1}{T} \int_0^T \cos(\Delta\varphi) dt \quad \Delta\varphi = \varphi_{20} - \varphi_{10} - \frac{2\pi}{\lambda}(r_2 - r_1)$$

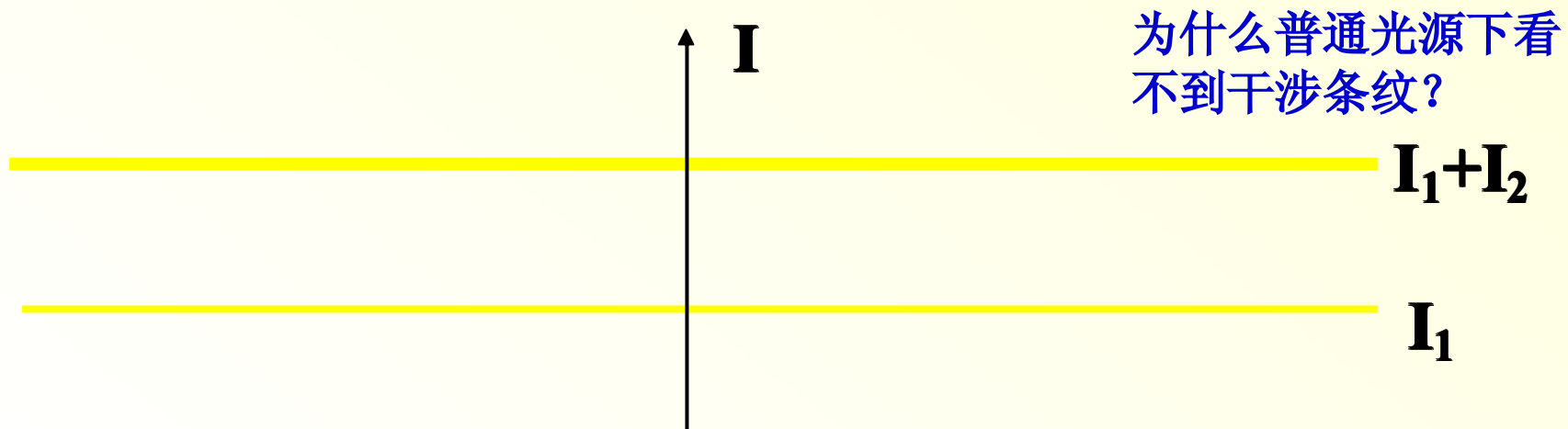
1. 光的不相干叠加:

在 T 时间范围内, φ_{10} 、 φ_{20} 随时间变化

$\varphi_{20} - \varphi_{10}$ 均匀分布在 $[0, 2\pi]$ 区间内, $\frac{2\pi}{\lambda}(r_2 - r_1)$ 为常数

$\Delta\varphi$ 均匀分布在 $[0, 2\pi]$ 区间内 $\Rightarrow \frac{1}{T} \int_0^T \cos(\Delta\varphi) \cdot dt = 0$

$I = I_1 + I_2$ —— 能量均匀分布



2.光的相干叠加:

如果两束光是相干光, 则它们的频率相同、振动方向相同, 而且在叠加点两束光的位相差恒定。

$$\frac{1}{T} \int_0^T \cos(\Delta\varphi) dt = \cos(\Delta\varphi)$$

$$I = I_1 + I_2 + 2\sqrt{I_1 I_2} \cos(\Delta\varphi)$$

当 $\Delta\varphi = \pm 2k\pi$ ($k = 0, 1, 2, \dots$) 时

$$I = I_1 + I_2 + 2\sqrt{I_1 I_2} \quad \text{——干涉相长}$$

当 $\Delta\varphi = \pm(2k-1)\pi$ ($k = 1, 2, \dots$) 时

$$I = I_1 + I_2 - 2\sqrt{I_1 I_2} \quad \text{——干涉相消}$$

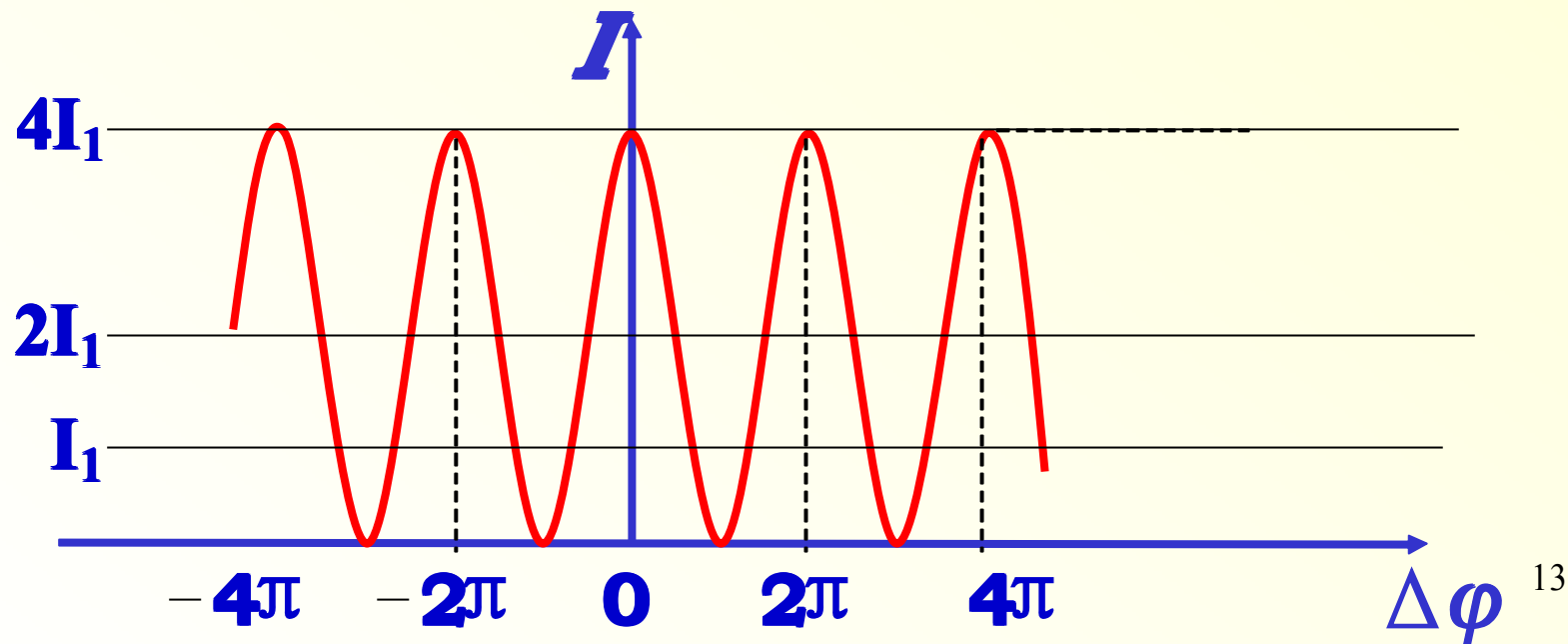
$$I = I_1 + I_2 + 2\sqrt{I_1 I_2} \cos(\varphi_2 - \varphi_1)$$

若: $I_1 = I_2$ 则: $I = 2I_1[1 + \cos(\varphi_2 - \varphi_1)] = 4I_1 \cos^2 \frac{\Delta\varphi}{2}$

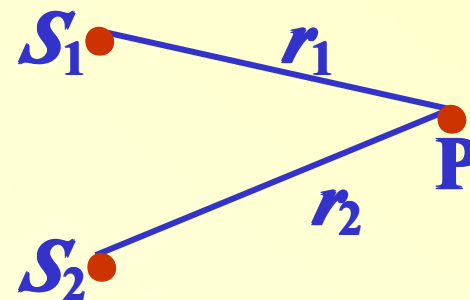
当 $\Delta\varphi = \pm 2k\pi$, ($k = 0, 1, 2, \dots$) —— $I = 4I_1$ (干涉相长)

当 $\Delta\varphi = \pm(2k-1)\pi$, ($k = 1, 2, \dots$) —— $I = 0$ (干涉相消)

*任意位置, 光强介于明暗之间: $I = 0 \sim 4I_1$



合光强 $I = I_1 + I_2 + 2\sqrt{I_1 I_2} \cos(\Delta\varphi)$



$$\Delta\varphi = \underbrace{(\varphi_{20} - \varphi_{10})}_{\text{光源初相差}} - \underbrace{\frac{2\pi}{\lambda}(r_2 - r_1)}_{\text{光程差产生的相位差}}$$

光源初相差

光程差产生的相位差

相干光：频率,振动方向,位相差完全一样

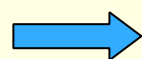
对于相干光 $\varphi_{10} = \varphi_{20}$ 相位差 $\Delta\varphi = \frac{2\pi}{\lambda}(r_2 - r_1)$

$$\delta = r_2 - r_1 \begin{cases} = \pm k\lambda & (k = 0, 1, 2, \dots) & \text{加强 明纹} \\ = \pm(2k+1)\frac{\lambda}{2} & (k = 0, 1, 2, \dots) & \text{减弱 暗纹} \end{cases}$$

四、普通光源获得相干光的途径

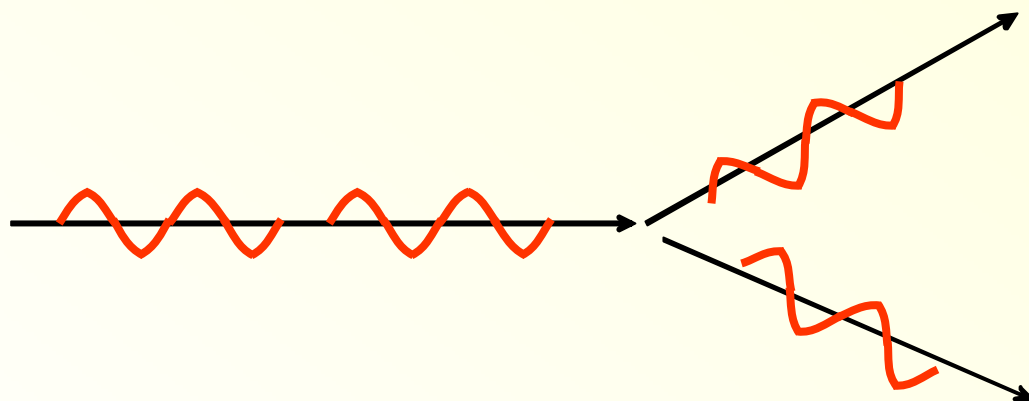
1. 获得相干光源的原理

光源上同一点
发出的光波列



分成两束

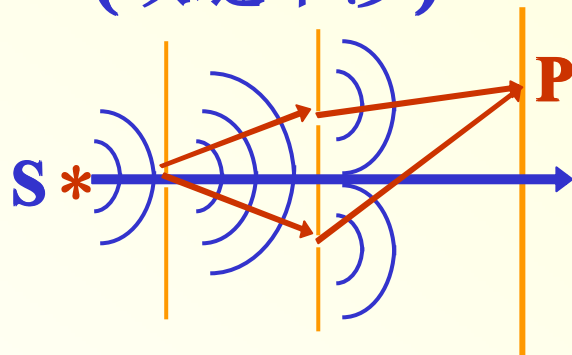
频率相同
振动方向相同
位相差恒定



2. 获得相干光源的方法

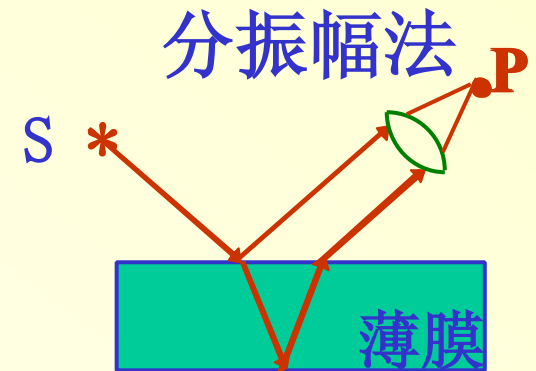
- 分波阵面法
- 分振幅法

分波阵面法
(双缝干涉)



从波阵面上分离出的初位相相同的相干光源，使之产生干涉

分振幅法

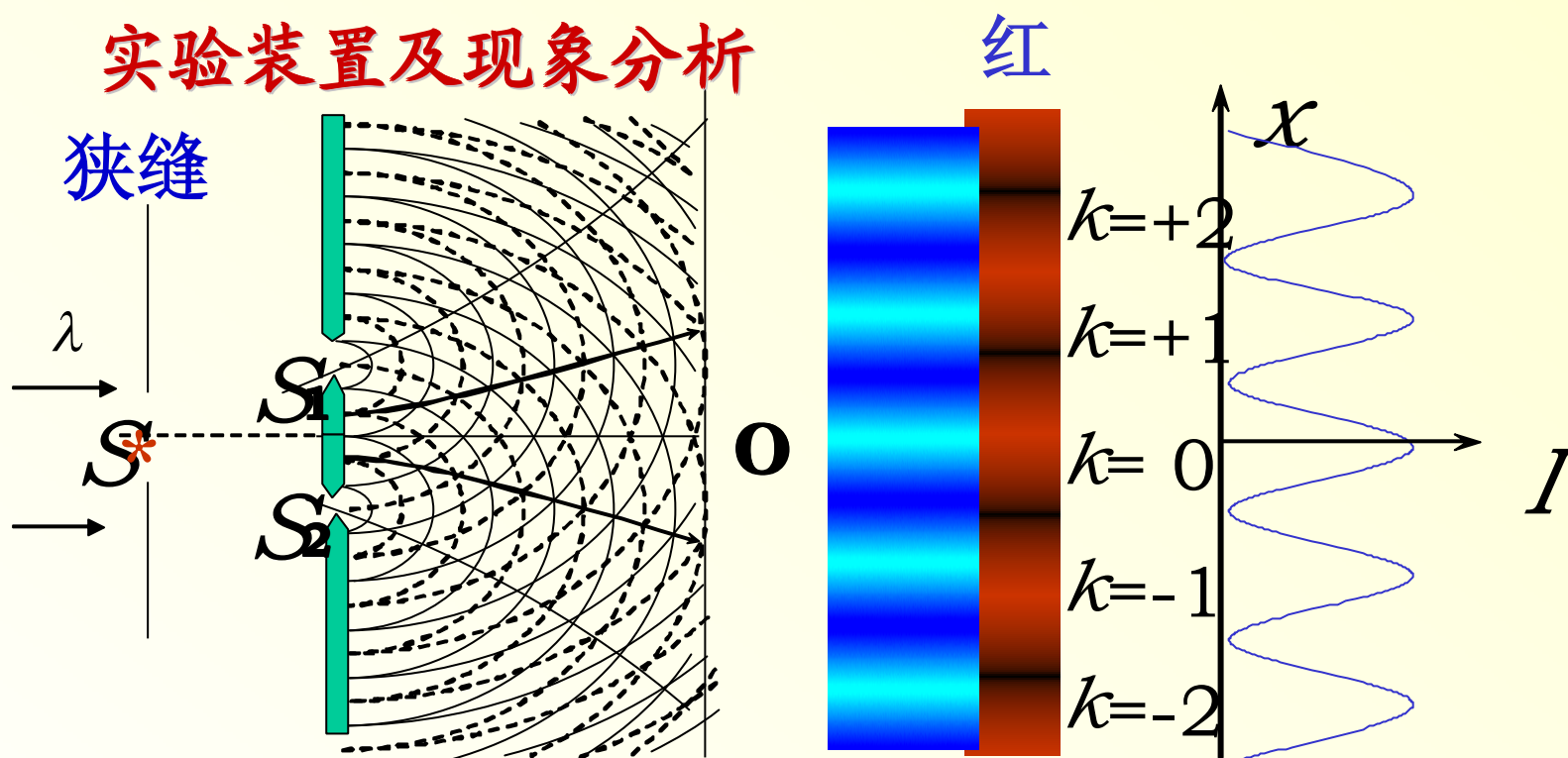


利用入射光在薄膜界面的依次反射，将入光的振幅分解为若干部分（能量分解）经过不同的路径相遇相干

注：微观上，光子只能自己和自己干涉，不同的光子是不相干的；宏观的干涉现象却是大量光子各自干涉结果的统计平均效应。

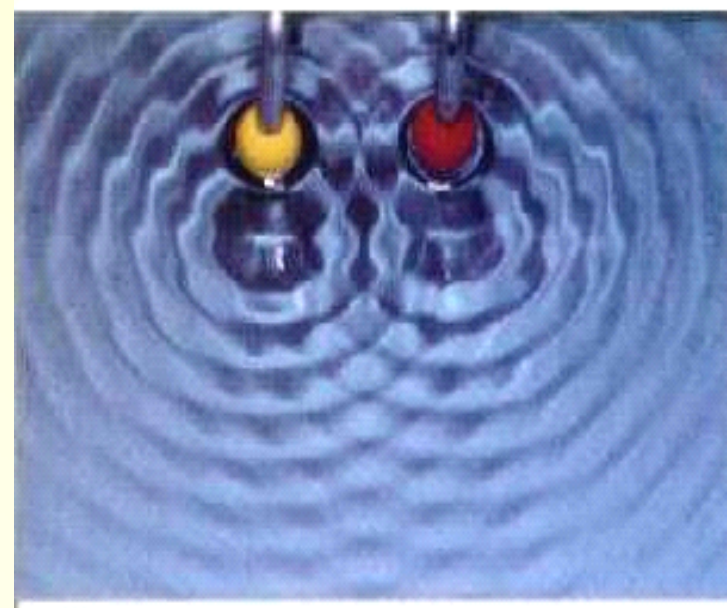
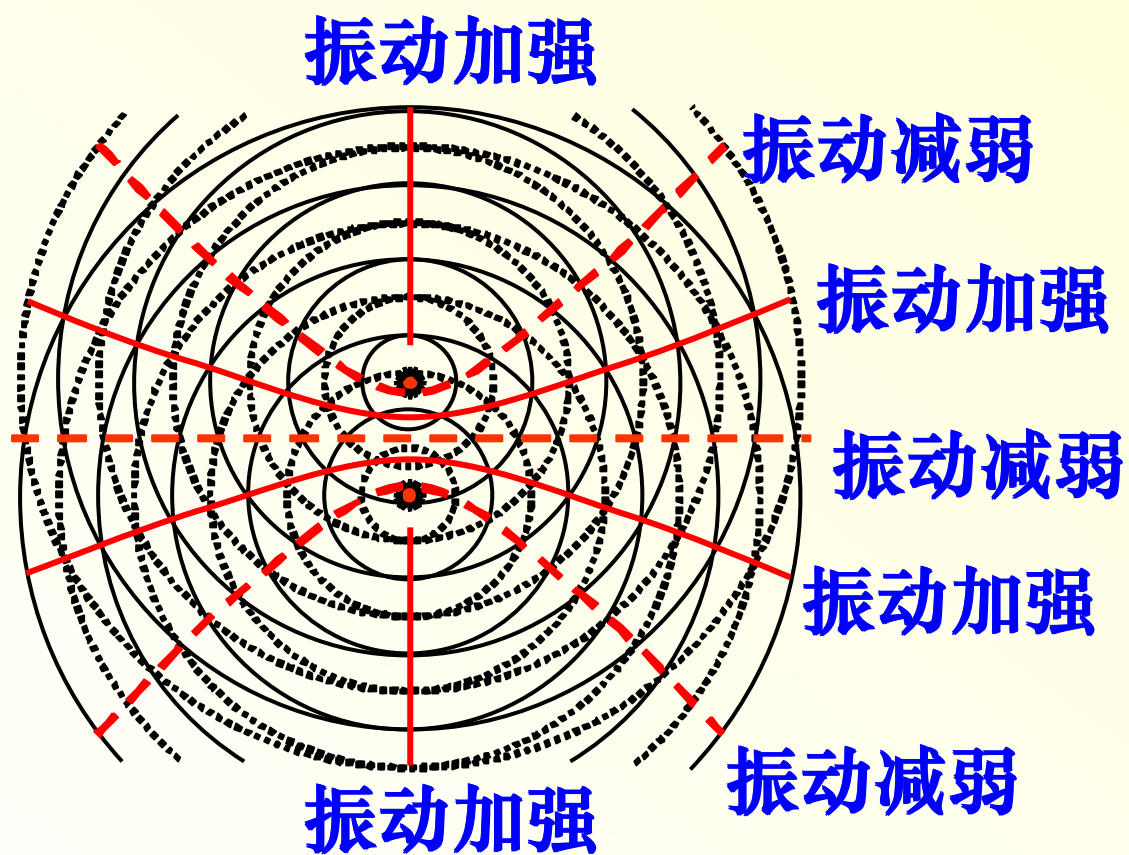
§ 13.2 杨氏双缝干涉

实验装置及现象分析



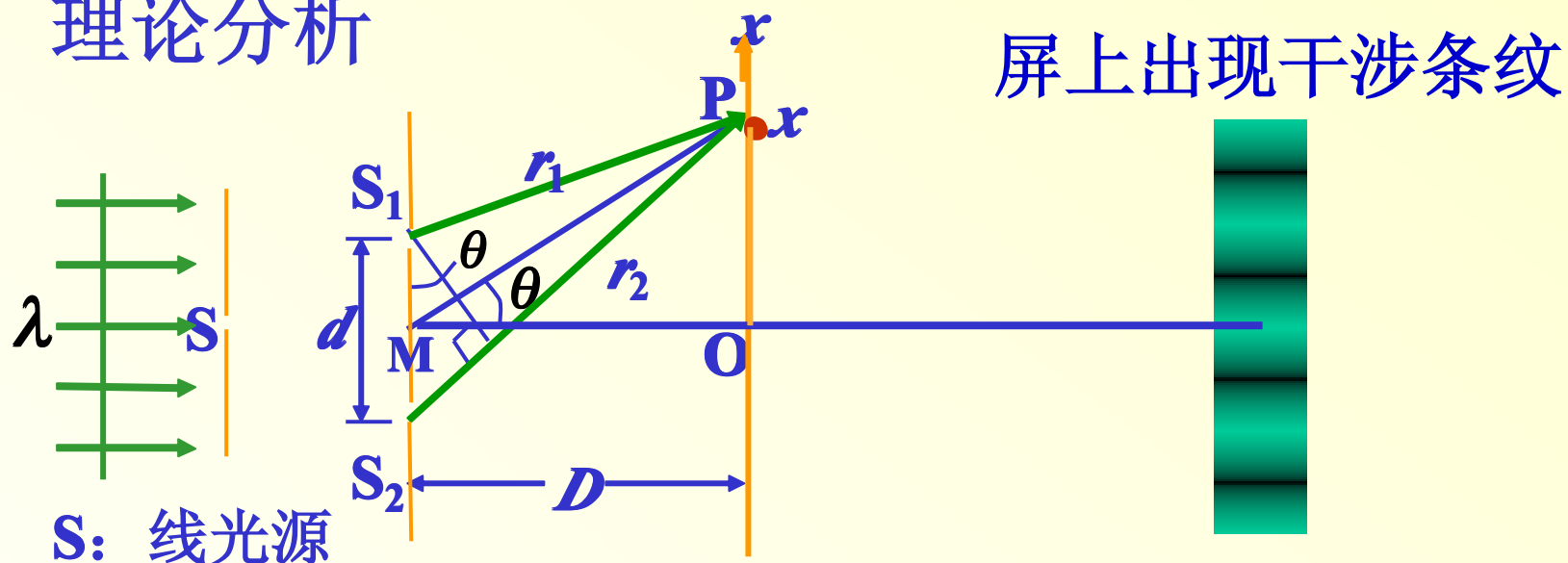
实验结果

1. **单色光:** 对中央 SO 对称分布, 中心明纹, 两侧明暗相间, 等宽度、等间距、平行于细缝的直线形干涉条纹。
2. **不同颜色单色光:** 条纹宽度不同, 间距不同。



水波盘中水波的干涉

理论分析



d 相干光源 S_1 和 S_2 的间距 $d \gg \lambda$

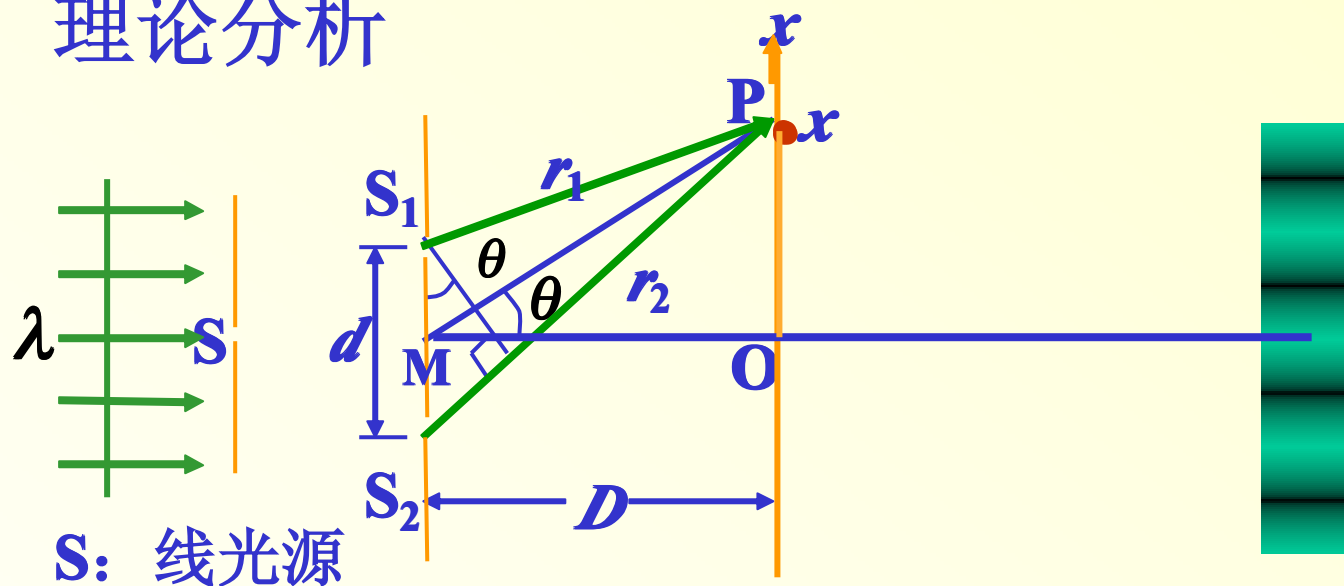
D 相干光源到屏的垂直距离 $D \gg d$

P 屏上任意一点

x **P**到屏幕上对称中心**O**的距离（条纹位置）

θ 如图

理论分析



S : 线光源

显然 $\varphi_{10} = \varphi_{20}$ $\overline{S_1 S} = \overline{S_2 S}$

相位差 $\Delta\varphi = \frac{2\pi}{\lambda} \delta$ $\delta = r_2 - r_1$

θ 很小

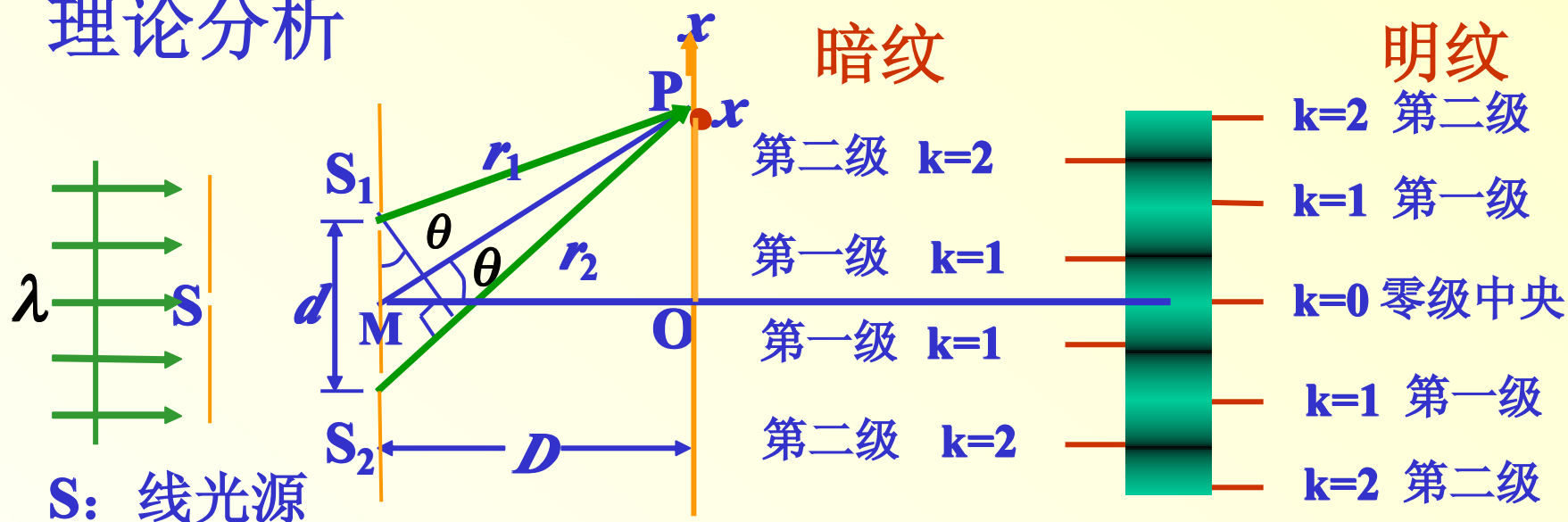
$$\delta \approx d \sin \theta \approx d \tan \theta = d \frac{x}{D} \begin{cases} = \pm k\lambda & (k = 0, 1, 2, \dots) \\ = \pm (2k-1) \frac{\lambda}{2} & (k = 1, 2, 3, \dots) \end{cases}$$

明纹

暗纹

k 干涉级

理论分析



$$\delta = r_2 - r_1 = d \frac{x}{D} = \begin{cases} = \pm k\lambda & (k = 0, 1, 2, \dots) & \text{明纹} \\ = \pm (2k-1) \frac{\lambda}{2} & (k = 1, 2, 3, \dots) & \text{暗纹} \end{cases}$$

k 干涉级

注意 δ 的取值

$\delta = 0$ — $k=0$ 零级中央

$\delta = \pm 3\lambda / 2$ — $k=1$ 二级暗纹

$\delta = \pm \lambda / 2$ — $k=1$ 一级暗纹

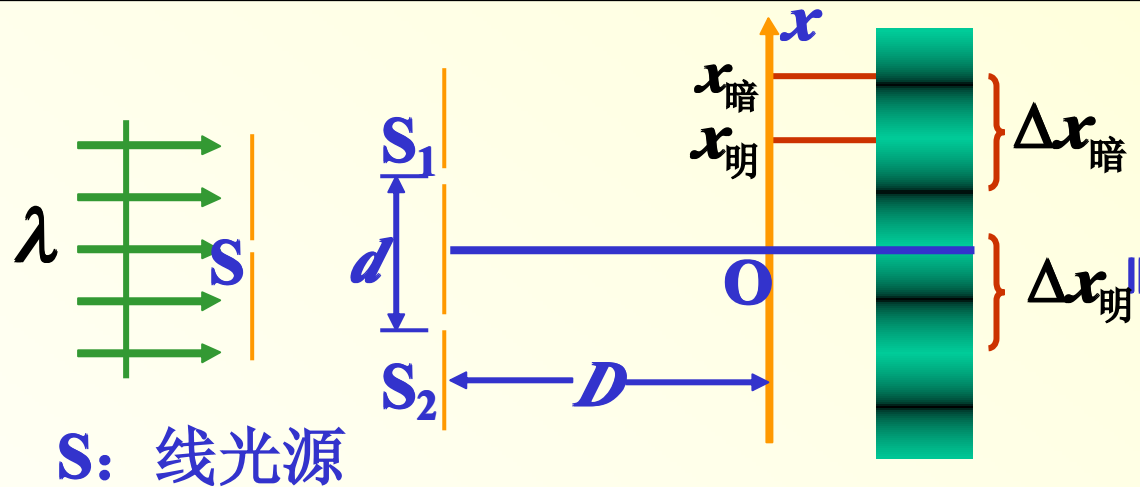
$\delta = 2\lambda$ — $k=2$ 二级明纹

$\delta = \lambda$ — $k=1$ 一级明纹

$$\delta = d \frac{x}{D} = \begin{cases} \pm k\lambda & (k = 0, 1, 2, 3 \dots) \\ \pm (2k-1) \frac{\lambda}{2} & (k = 1, 2, 3 \dots) \end{cases}$$

明纹(中心)

暗纹(中心)



等宽度、等间距、
平行于细缝的明
暗相间直线

1. 明暗条纹的位置

明纹 $x = \pm k \frac{D}{d} \lambda \quad (k = 0, 1, 2, \dots)$

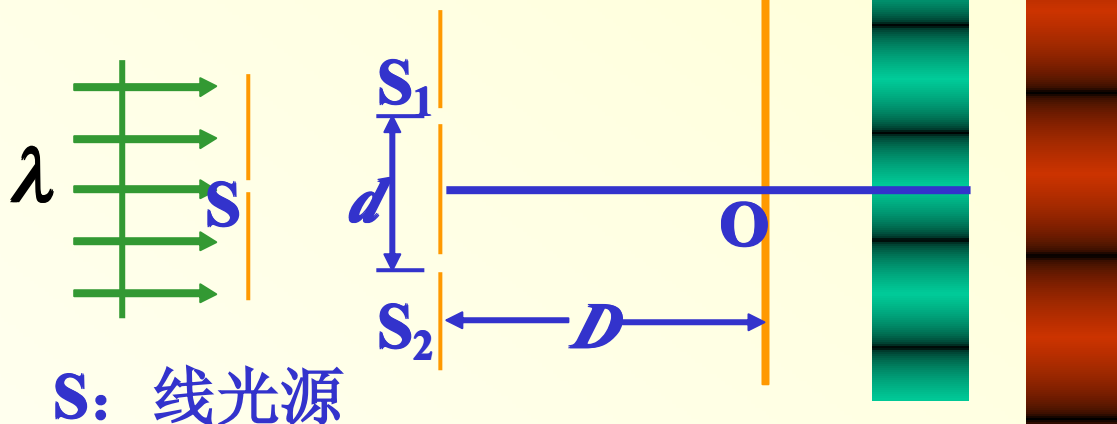
暗纹 $x = \pm (2k-1) \frac{D}{d} \cdot \frac{\lambda}{2} \quad (k = 1, 2, \dots)$

2. 相邻条纹间距

$$\Delta x = \frac{D}{d} \lambda$$

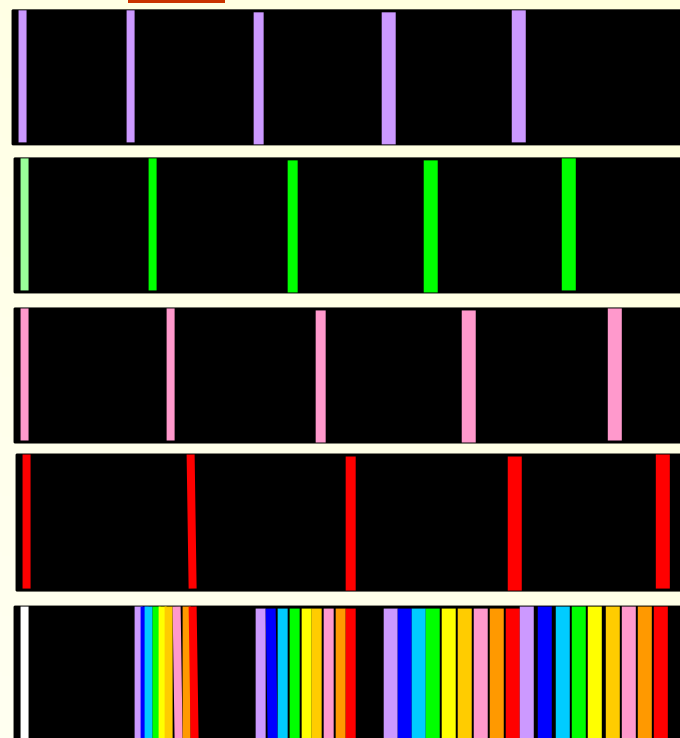
3.

$$\Delta x = \frac{D}{d} \lambda$$

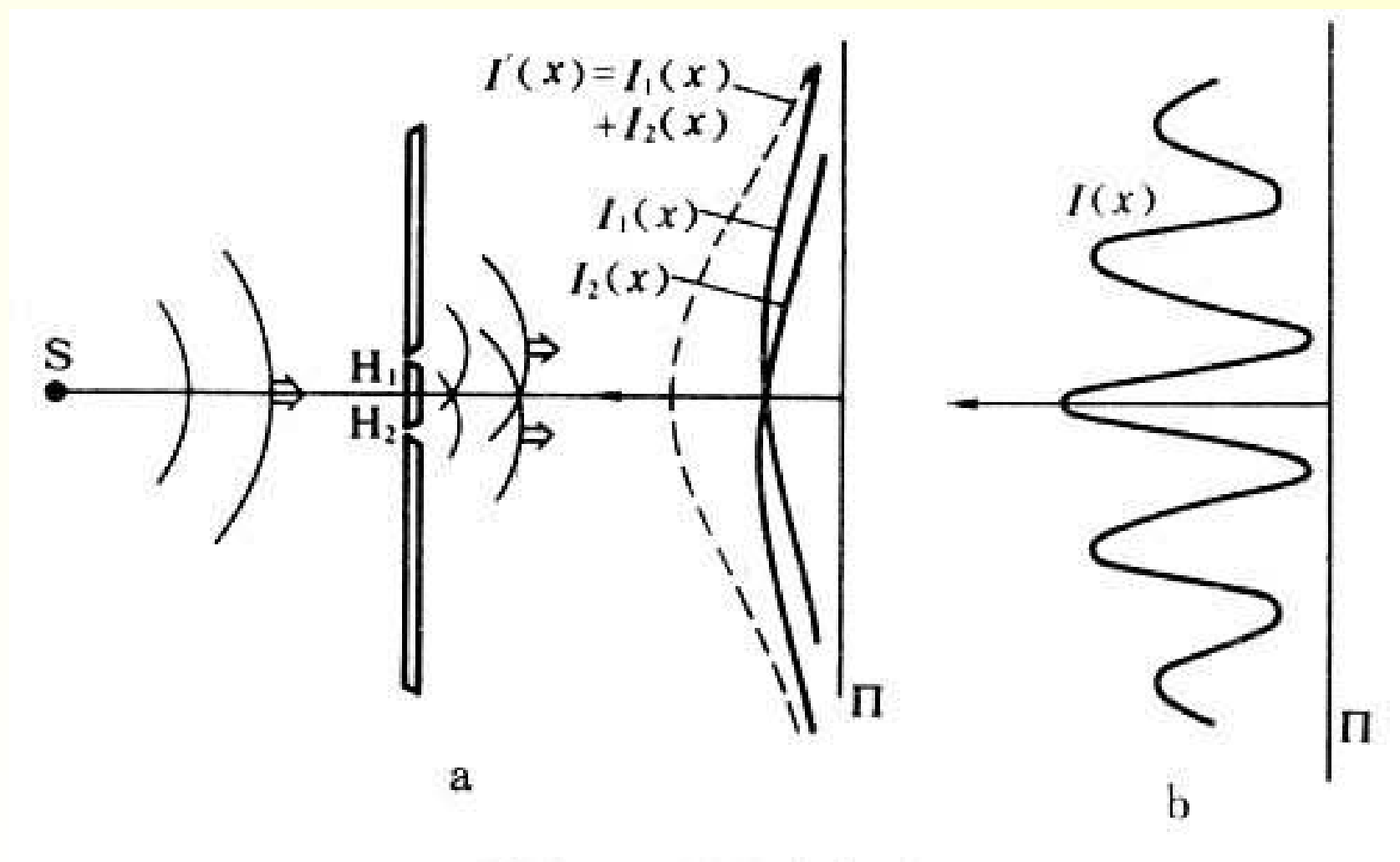


$$\lambda \text{ 一定, } \begin{cases} \Delta x \propto D \\ \Delta x \propto 1/d \end{cases}$$

$$D, d \text{ 一定, } \Delta x \propto \lambda$$



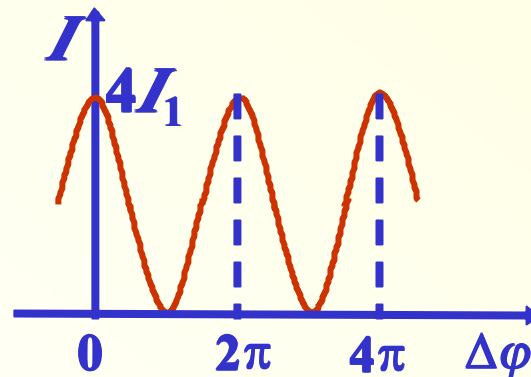
光的干涉，不等于光强的简单叠加



4. 条纹强度分布

(S_1 、 S_2 宽度相等) $E_{10}=E_{20}$ $I_1=I_2$

$$I = I_1 + I_2 + 2\sqrt{I_1 I_2} \cos \Delta\varphi$$
$$= 4I_1 \cos^2 \frac{\Delta\varphi}{2} \left\{ \begin{array}{ll} \text{明纹} & I=4I_1 \\ \text{暗纹} & I=0 \end{array} \right.$$



*任意位置，光强介于明暗之间： $I=0 \sim 4I_1$

$$I = I_1 + I_2 + 2\sqrt{I_1 I_2} \cos(\Delta\varphi)$$

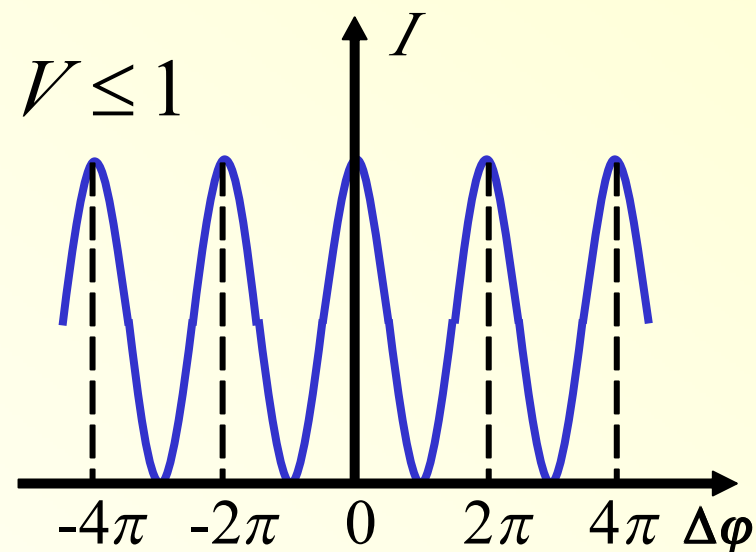
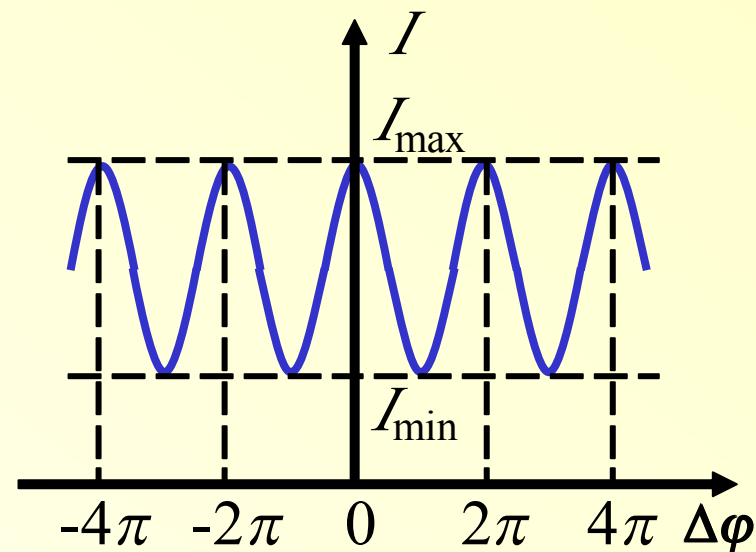
干涉条纹的可见度

$$V = \frac{I_{\max} - I_{\min}}{I_{\max} + I_{\min}} = \frac{2\sqrt{I_1 I_2}}{I_1 + I_2} \quad 0 \leq V \leq 1$$

当 $I_1 = I_2 = I_0$ 时, $V = 1$

$I_1 \ll I_2$ 时, $V = 0$

➤ 补充相干条件：两束光的强度不能相差太大。



$$I = 4I_0 \cos^2 \frac{\Delta\varphi}{2}$$

[例13-1] 双缝干涉实验中，钠光灯作光源， $\lambda = 589.3nm$
双缝与屏的距离 $D=500mm$ ，问：

(1) 双缝间距分别为 $d_1 = 1.2mm$ 和 $d_2 = 10mm$ ，求相邻干涉条纹的间距？

(2) 若肉眼仅能分辨两条纹的间距为 $0.065mm$ ，则双缝间距 d 最大是多少？

[解] 相邻两条纹间距为 $\Delta x = \frac{D\lambda}{d}$

$$\text{当 } d_1 = 1.2mm \text{ 时, } \Delta x_1 = \frac{500 \times 589.3 \times 10^{-6}}{1.2} = 0.25mm$$

$$\text{当 } d_1 = 10mm \text{ 时, } \Delta x_2 = \frac{500 \times 589.3 \times 10^{-6}}{10} = 0.030mm$$

$$\text{当 } \Delta x = 0.065mm \text{ 时, } d = \frac{D\lambda}{\Delta x} = \frac{500 \times 589.3 \times 10^{-6}}{0.065} = 4.5mm$$

计算结果表明，双缝间距 d 必须小于 $4.5mm$ 才能看到干涉条纹。当 $d=10mm$ 时，实际上看不到干涉条纹。

[例13-2] 杨氏双缝实验中，光源波长 $\lambda = 640nm$ ，双缝间距 $d=0.4mm$ ，屏与双缝的距离 $D=50cm$ ，若屏上P点离中央明纹中心的距离 $x=0.1mm$ ，试求：

(1) 两光束在P点的位相差

(2) P点的光强和中央明纹中心O点的光强之比。

[解] (1)两光束到达P点的波程差：

$$r_2 - r_1 = d \frac{x}{D} = 0.4 \times \frac{0.1}{500} = 8.0 \times 10^{-4} mm$$

$$\text{位相差: } \Delta\varphi_P = \frac{2\pi}{\lambda} (r_2 - r_1) = \frac{2\pi}{640 \times 10^{-6}} \times 0.8 \times 10^{-4} = \frac{\pi}{4}$$

(2) 根据光强公式得：

$$\frac{I_P}{I_o} = \frac{4I_1 \cos^2 \frac{\Delta\varphi_P}{2}}{4I_1 \cos^2 \frac{\Delta\varphi_o}{2}} = \cos^2 \frac{\pi}{8} = 0.8536$$

[例13-3] 杨氏双缝的间距为**0.2mm**，距离屏幕为**1m**。

(1) 若第一到第四明纹距离为**7.5mm**，求入射光波长。

(2) 若入射光的波长为**600nm**，求相邻两明纹的间距。

解: $x = \pm k \frac{D}{d} \lambda \quad (k = 0, 1, 2, \dots)$

$$\Delta x_{1,4} = x_4 - x_1 = (4 - 1) \frac{D}{d} \lambda$$

$$\lambda = \frac{d}{D} \cdot \frac{\Delta x_{1,4}}{3} = \frac{0.2 \times 10^{-3}}{1} \frac{7.5 \times 10^{-3}}{3} = 5 \times 10^{-7} \text{ m}$$

$$\Delta x = \frac{D}{d} \lambda = \frac{1 \times 6 \times 10^{-7}}{0.2 \times 10^{-3}} = 3 \times 10^{-3} \text{ m} = 3 \text{ mm}$$

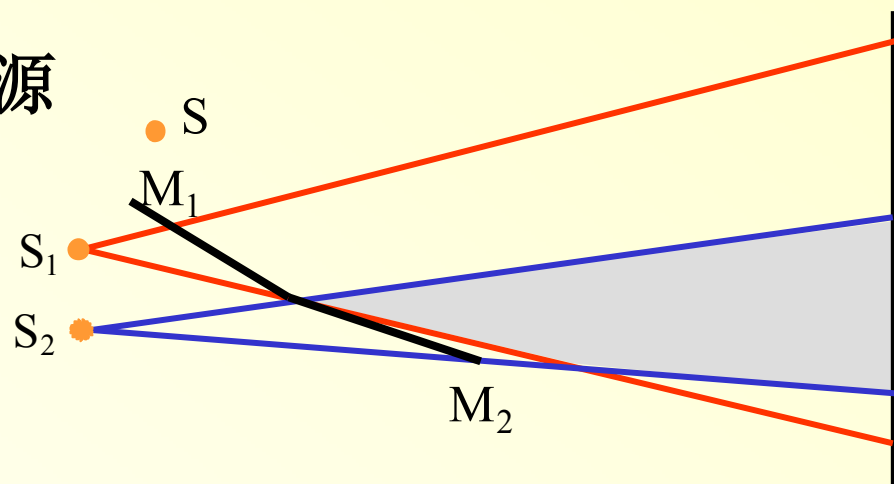
其它双缝型干涉装置

1. 菲涅耳双面镜

S: 实光源, **S₁**、**S₂**: 虚光源

M₁、**M₂**: 平面反射镜

两虚光源为相干光源,
阴影部分出现干涉

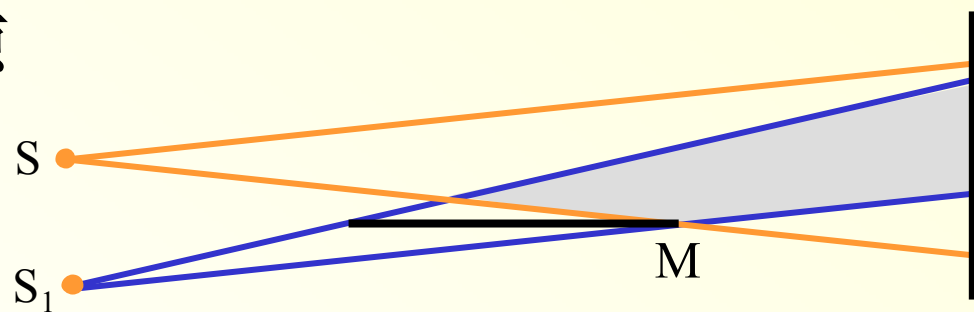


2. 洛埃镜

S: 实光源, **S₁**: 虚光源

M: 平面反射镜

阴影部分出现干涉



总结：光的干涉

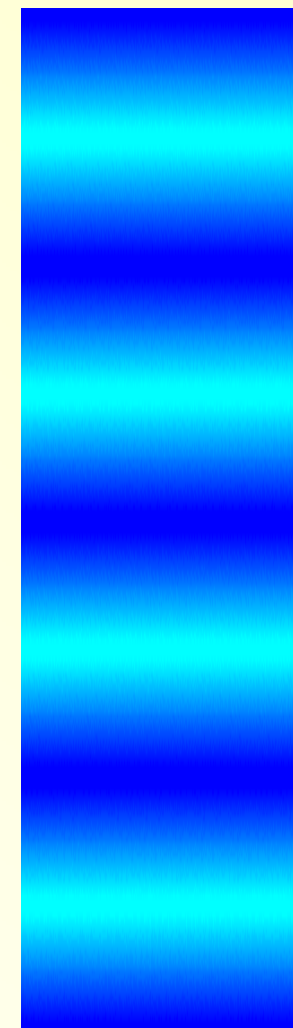
条件——相干光源

{ 频率相同
振动方向相同
稳定的位相差
光强相差不大

本质——两列相干波的迭加

特点——波的能量在空间周期性分布
(加强或减弱)

光干涉的特征——光波交迭处的屏上呈现
明暗相间的条纹



光程与光程差

由波动理论知,不同介质中:

$$\left. \begin{array}{l} \nu \text{ 不变} \\ u \text{ 改变} \end{array} \right\} \lambda_n = \frac{u}{\nu} \quad \text{改变}$$

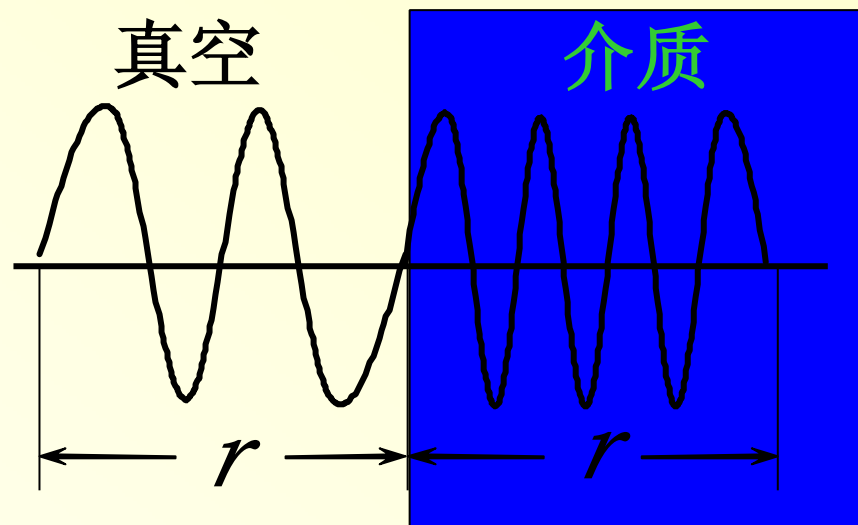
真空中 $\lambda = \frac{c}{\nu}$

介质中 $\lambda_n = \frac{u}{\nu}$

折射率 $n = \frac{c}{u}$

$$\lambda_n = \frac{\lambda}{n} = \frac{c}{n \cdot \nu}$$

介质中 $\Delta\varphi = \frac{2\pi}{\lambda} n r$



表明:在介质中光线经过 r 所发生的相位改变,
等于真空中经过 nr 所发生的相位改变。

定义 光程 : $L =$

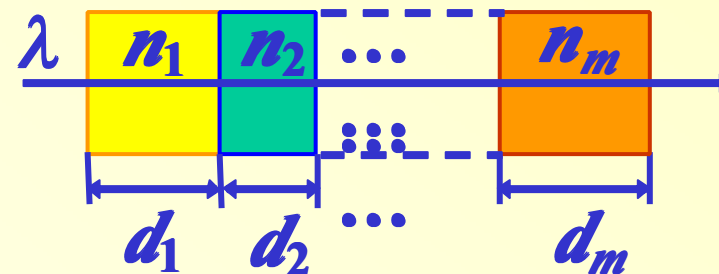
光程 $\overset{nr}{=}$ 折射率 \times 几何路程 $= nr$

光程是光在介质中传播路程等效于真空路程

真空中 $n=1$, $L=r$ 光程即几何路程

光程 $L = \sum (n_i d_i)$

$$= n_1 d_1 + n_2 d_2 + \dots + n_m d_m$$

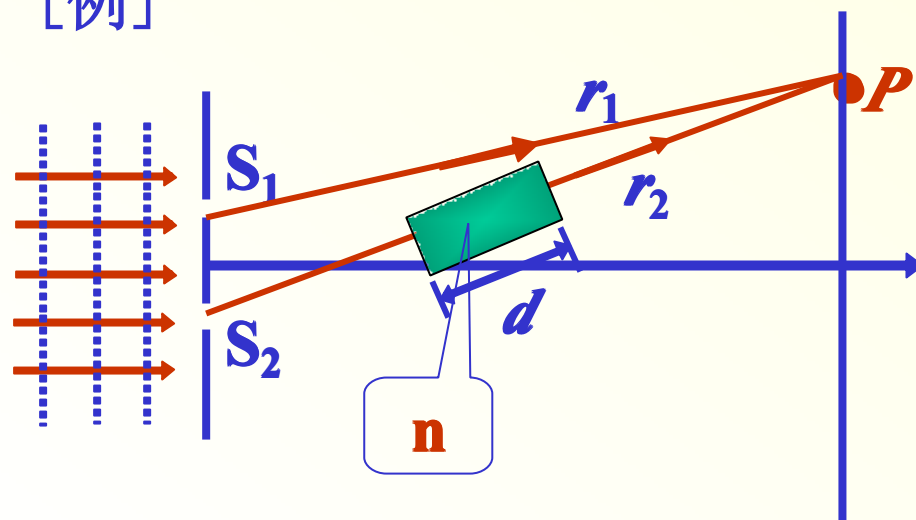


光程差 $\delta = L_2 - L_1$ 光线2的光程—光线1的光程

相位差和光程差的关系:

$$\Delta\varphi = \frac{2\pi}{\lambda} \delta$$

[例]

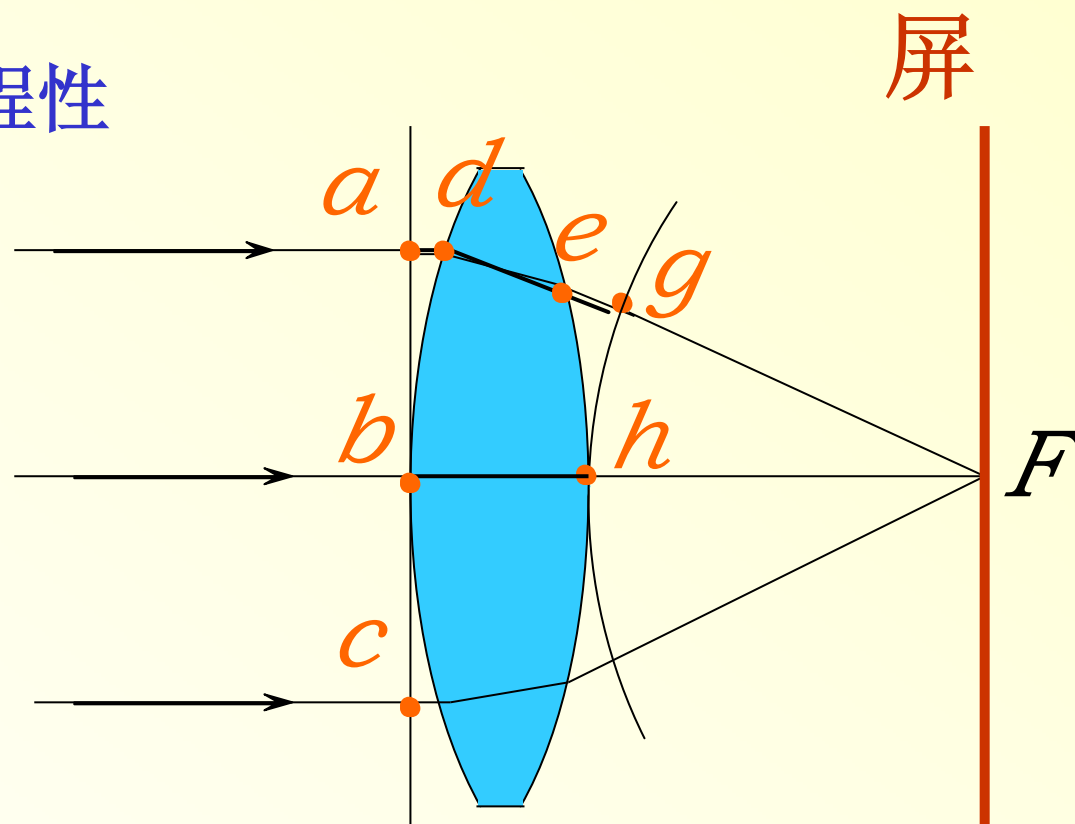


$$P: \Delta\varphi = \frac{2\pi}{\lambda} \{L_2 - L_1\}$$

$$= \frac{2\pi}{\lambda} \{[(r_2 - d) + nd] - r_1\}$$

$$= \frac{2\pi}{\lambda} [(r_2 - r_1) + (n - 1)d]$$

透镜的等光程性



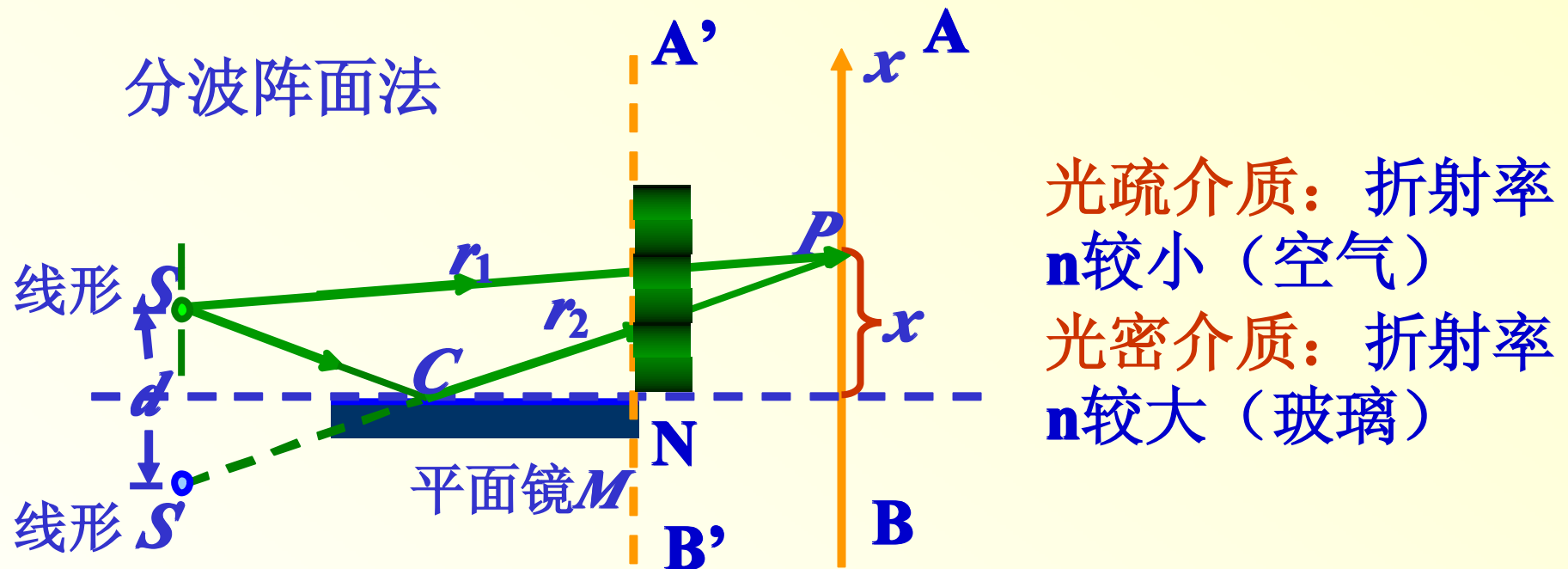
abc 三点在同一波面上，相位相等。

到达 F 点形成亮点，说明 abc 三条光线到达 F 点无相位差。

$adeg$ 与 bh 几何路程不等，但光程是相等的。

所以透镜的引入不会引起附加的光程差。

洛埃镜干涉实验



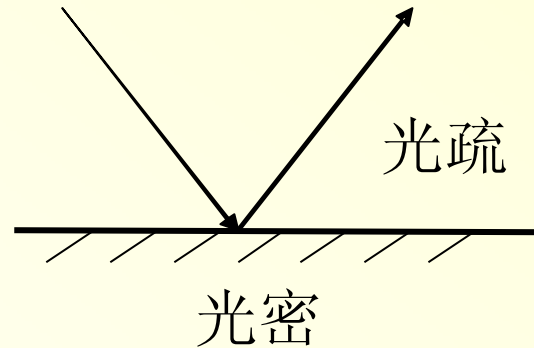
将屏 AB 移至 $A'B'$ 处， N 点是明还是暗条纹？

虽然 $\delta = r_2 - r_1 = 0$ 但实验结果 N 点是暗条纹

N 点： $\Delta\varphi = \pi$ 光从光疏到光密媒质的界面上反射时，
 $(\delta = \frac{\lambda}{2})$ 有 π 的位相突变——半波损失

由半波损失引起的附加光程差

半波损失

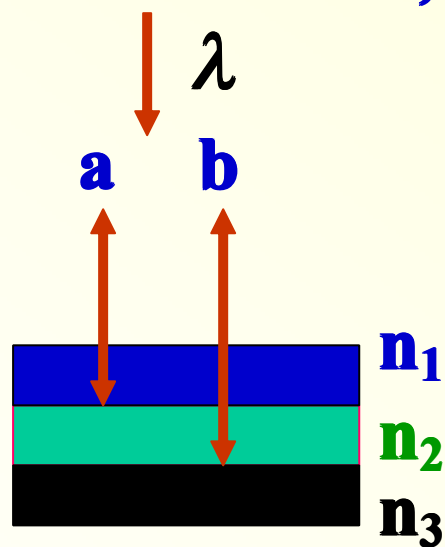


反射光波有 π 位相的突变

当光从折射率较小的介质射向折射率较大的介质，在其分界面上反射时，发射光的位相突变 π ，半波损失

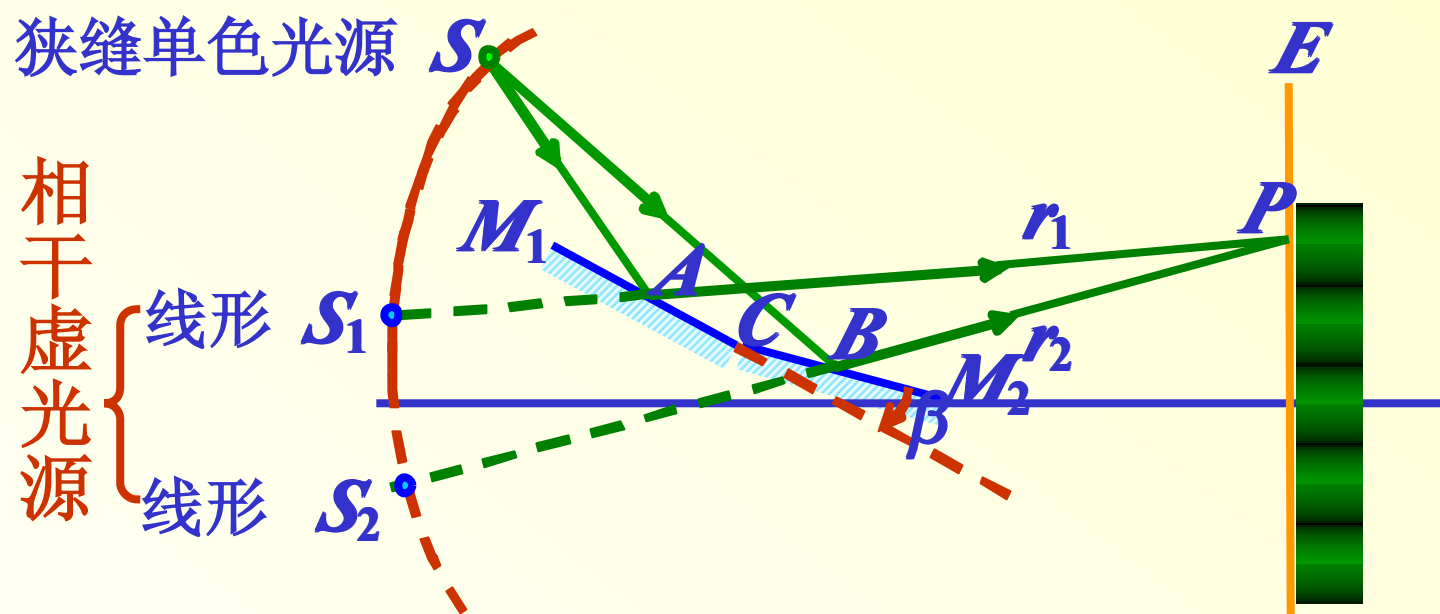
只有反射光才能有半波损失，折射无半波损失
凡是有半波损失的，都加上 $\lambda/2$ 的光程。

a, b两光线相干时有没有附加光程差 $\lambda/2$



$n_1 < n_2 > n_3$	a有	b无	b-a有
$n_1 > n_2 < n_3$	a无	b有	b-a有
$n_1 < n_2 < n_3$	a有	b有	b-a无
$n_1 > n_2 > n_3$	a无	b无	b-a无

菲涅耳双面镜实验



P点波程差

$$\begin{aligned}\delta &= (SA + \frac{\lambda}{2} + AP) - (SB + \frac{\lambda}{2} + BP) \\ &= (r_1 + \frac{\lambda}{2}) - (r_2 + \frac{\lambda}{2})\end{aligned}$$

$$\delta = r_1 - r_2 = \begin{cases} \pm k\lambda & (k=0, 1, 2 \dots) \text{ 明纹 (中心)} \\ \pm(2k-1)\lambda/2 & (k=1, 2, 3 \dots) \text{ 暗纹 (中心)} \end{cases}$$

在杨氏双缝实验中，当作如下调整时，屏幕上的干涉条纹将作如何变化？

1.使两缝间距加大

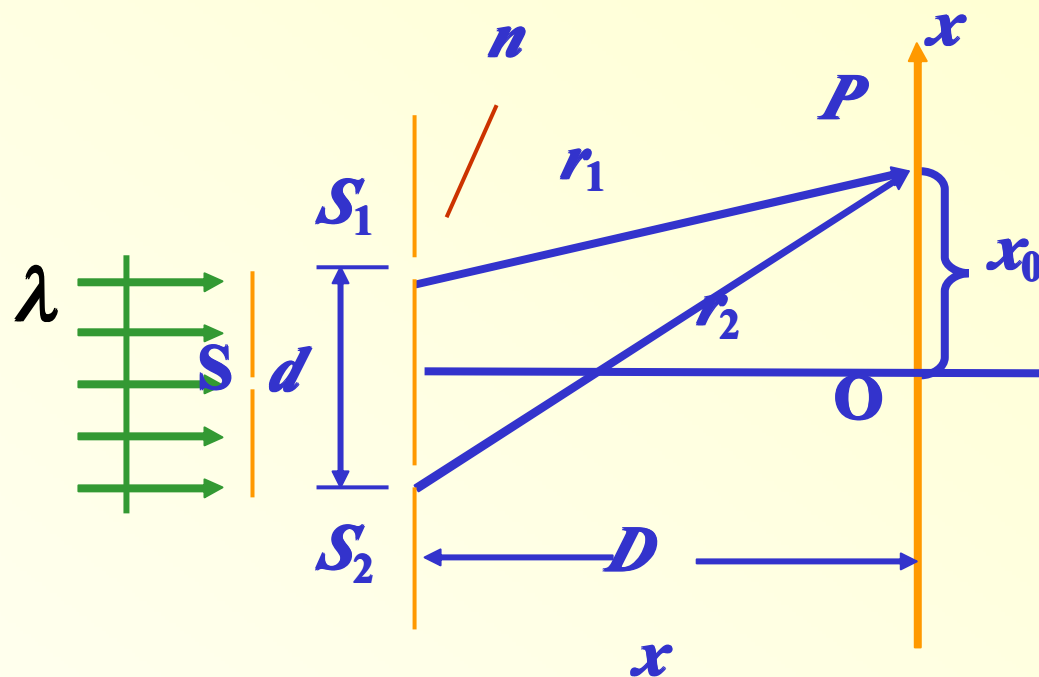
干涉条纹以中央明条纹为中心对称分布，各级明纹位置

$$x = k \frac{D}{d} \lambda$$

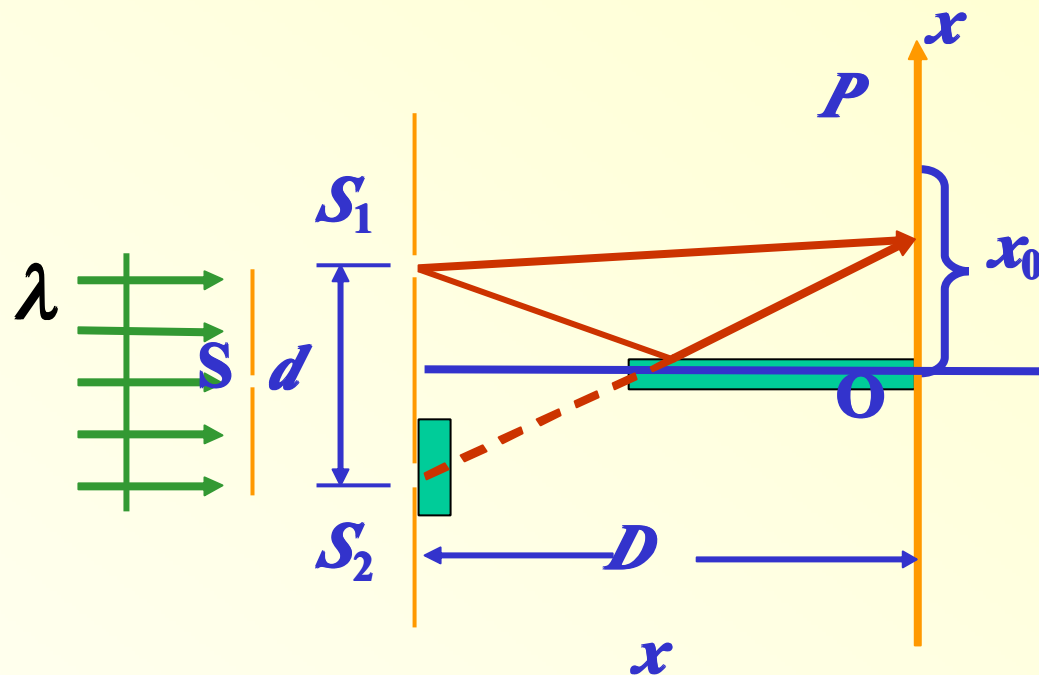
各级明纹宽度

$$\Delta x = \frac{D}{d} \lambda$$

条纹位置下移，条纹变密



2.把双缝中的一条缝盖住，在两缝的垂直平分线上放置一块平面反射镜



洛埃境实验

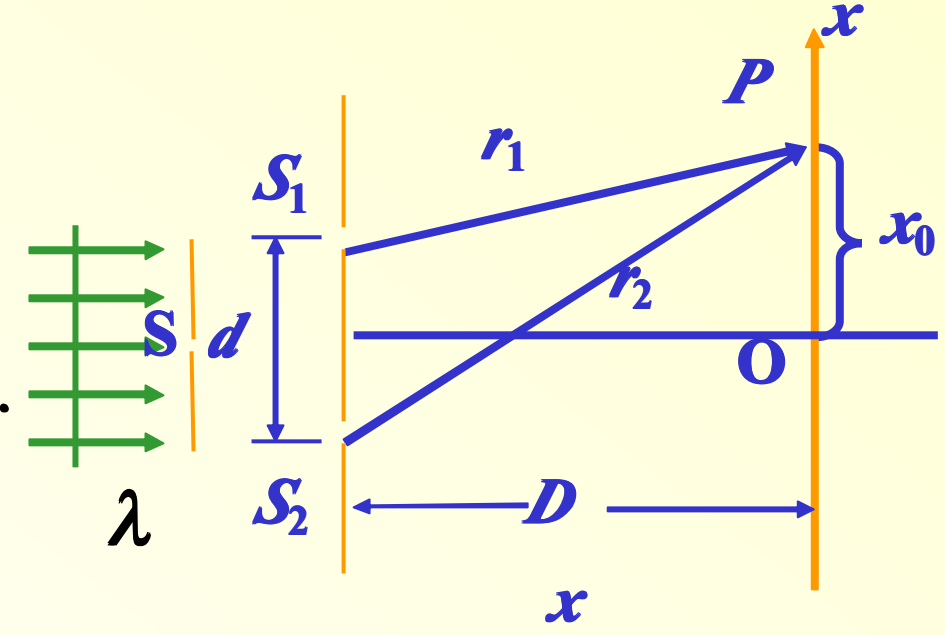
直接入射到屏上的光线和经过平面镜反射后的光线干涉

光程差
$$\delta = d \frac{x}{D} + \frac{\lambda}{2}$$

条纹形状不变，明暗位置相反，并干涉区域减少。

3.把双缝实验放在水中

$$\delta = n(r_2 - r_1) = nd \frac{x}{D}$$

$$= \begin{cases} \pm k\lambda & \text{明 } k=0,1,2,\dots \\ \pm(2k+1)\frac{\lambda}{2} & \text{暗 } k=1,2,\dots \end{cases}$$


The diagram illustrates the double-slit interference experiment setup. A plane wave with wavelength λ (indicated by green arrows) passes through two slits, S_1 and S_2 , which are separated by a distance d . The wave travels a distance D to a screen. A point P is located at a height x_0 from the central axis O . The path lengths from the slits to point P are r_1 and r_2 . The vertical axis is labeled x .

$$x = k \frac{D}{d} \frac{\lambda}{n}$$

$$\Delta x = \frac{D}{d} \frac{\lambda}{n}$$

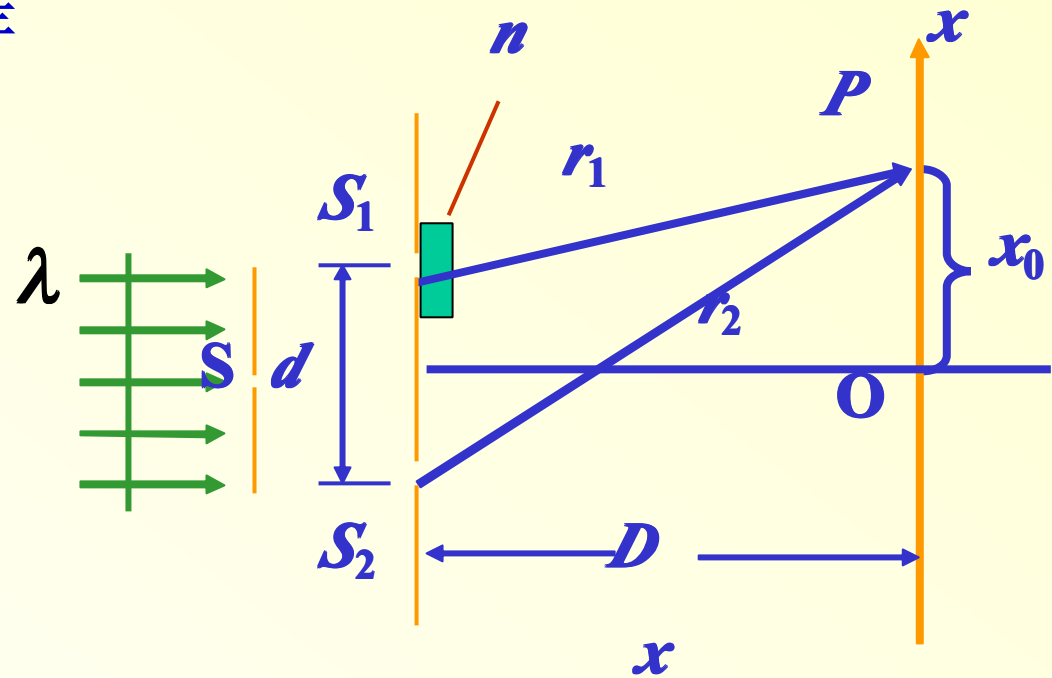
4. 在 S_1 光路上放上厚度为 l ，这是率为 n 的透明云母片

中央明纹所在处的光程差

$$\delta = r_2 - (r_1 - l + nl) = 0$$

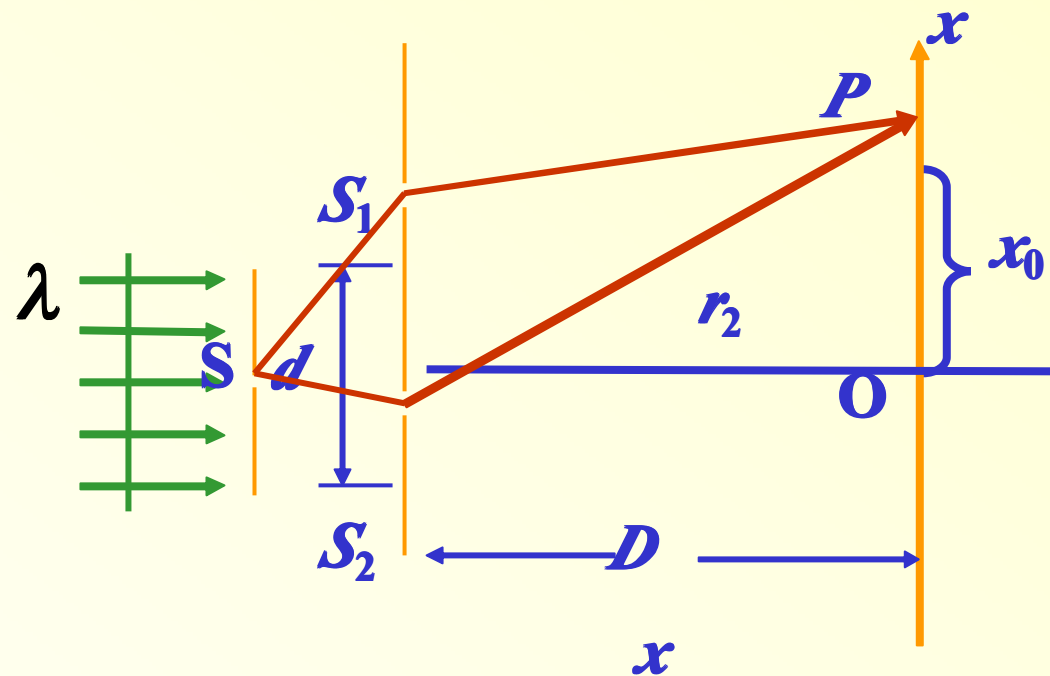
$$r_2 - r_1 = (n-1)l$$

中央明纹上移



5. 把双缝 S_1 和 S_2 整体往上移动一段距离

中央明纹位置上移



相干条件： 振动方向相同 频率相同 相位差恒定

不相干叠加： $I = I_1 + I_2$ —— 能量均匀分布

相干叠加： $I = I_1 + I_2 + 2\sqrt{I_1 I_2} \cos(\varphi_2 - \varphi_1)$

若： $I_1 = I_2$ 则 $I = 4I_1 \cos^2 \frac{\Delta\varphi}{2}$

$\Delta\varphi = \pm 2k\pi \quad (k = 0, 1, 2, \dots)$ $I = 4I_1$ 加强 明纹

$\Delta\varphi = \pm(2k+1)\pi \quad (k = 0, 1, 2, \dots)$ $I = 0$ 减弱 暗纹

*任意位置，光强介于明暗之间： $I = 0 \sim 4I_1$

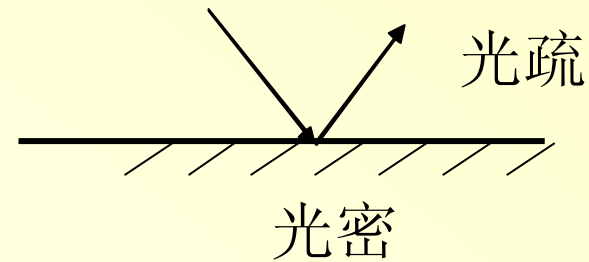
$$\lambda_n = \frac{\lambda}{n}$$

光程 = 折射率 \times 几何路程 nr

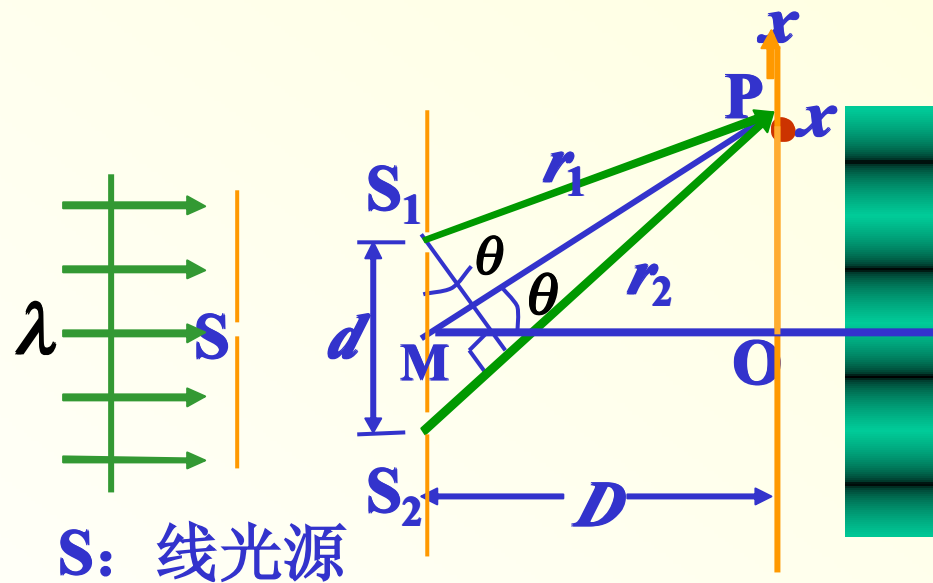
介质中 $\Delta\varphi = \frac{nr}{\lambda} 2\pi$

由半波损失引起的附加光程差

半波损失 $\lambda / 2$



反射光波有 π 位相的突变



屏上出现干涉条纹

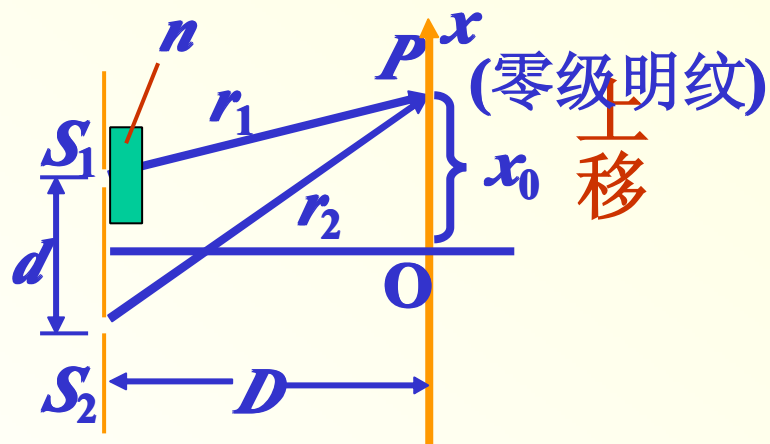
$$x = k \frac{D}{d} \lambda \quad \text{各级明纹位置}$$

$$\Delta x = \frac{D}{d} \lambda \quad \text{条纹宽度}$$

$$\delta = r_2 - r_1 = d \sin \theta = d \frac{x}{D} = \begin{cases} = \pm k \lambda & (k = 0, 1, 2, \dots) \quad \text{明纹} \\ = \pm (2k - 1) \frac{\lambda}{2} & (k = 1, 2, 3, \dots) \quad \text{暗纹} \end{cases}$$

k 干涉级

例:用很薄的云母片($n=1.58$)覆盖在双缝试验中的一条缝上,这是屏上的零级明条纹移到原来的第七级明条纹的位置上,如果入射光波长为 550nm ,试问此云母片厚度为多少毫米?



解法一： 以P点为观测点

\because 云母片插入后, P 点为中央明条纹

$$\therefore r_2 - [r_1 - x + nx] = 0 \quad (1)$$

又 \because 云母片未插入时,

P 点为第七级明条纹

$$\therefore r_2 - r_1 = 7\lambda \quad (2)$$

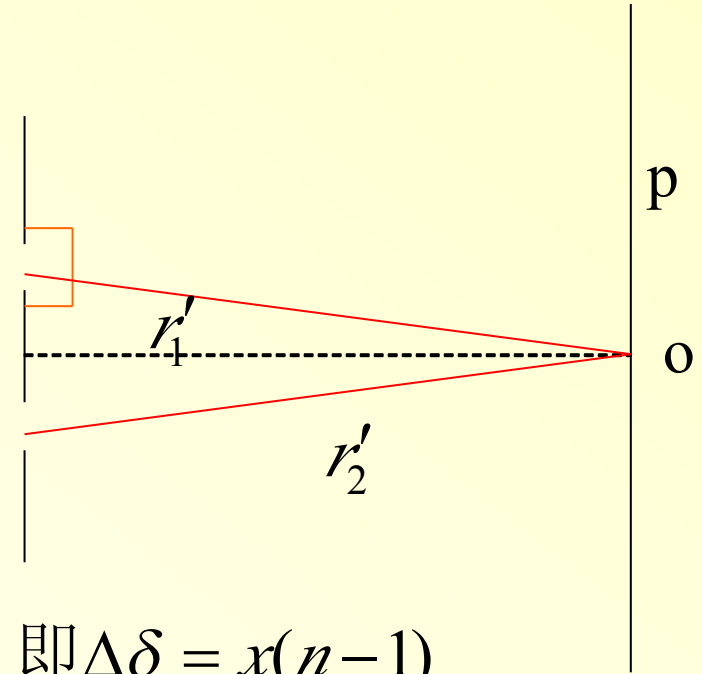
$$\left. \begin{array}{l} (1) \\ (2) \end{array} \right\} x = \frac{7\lambda}{n-1} = 6.6 \times 10^{-3} \text{ mm} \quad \text{区域防守, 认准P点}$$

解法二：以**O**点为观测点

未放云母前，中央明条纹在**O**点

$$\delta = r_2' - r_1' = 0$$

云母片插入后

$$\left\{ \begin{array}{l} r_2' \text{ 不变} \\ r_1' \rightarrow [r_1' + x(n-1)] \end{array} \right.$$


$$\text{即 } \Delta\delta = x(n-1)$$

O点为第7级明纹 $\Delta\delta = 7\lambda$

$$x = \frac{7\lambda}{n-1} = 6.6 \times 10^{-3} \text{ mm}$$

区域防守，认准**O**点

解法三：跟踪某一特定的条纹（中央明纹）

未放云母前，中央明条纹在o点

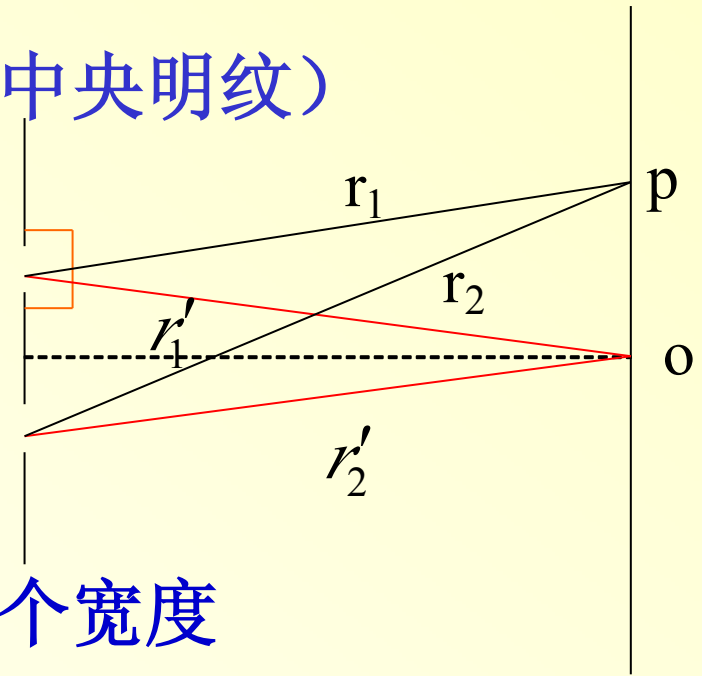
$$\delta = r_2' - r_1' = 0$$

放云母片后，中央明条纹移动了7个宽度

$$x(n-1) = 7\lambda$$

$$x = \frac{7\lambda}{n-1} = 6.6 \times 10^{-3} \text{ mm}$$

盯人防守，盯住条纹



§ 13.4 分振幅法产生的干涉——薄膜干涉

一、等倾干涉——平行薄膜干涉

光程差的计算:

(1) 将几何路程折算为光程

(2) 光从光疏→光密→光疏时存在半波损失

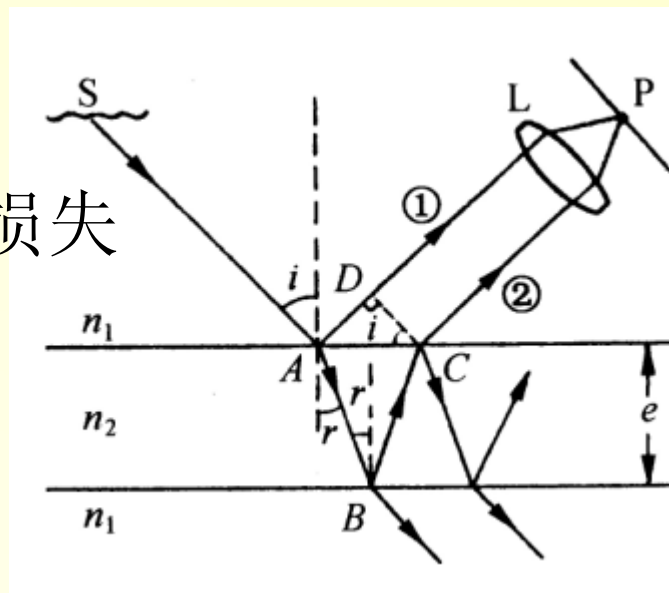
1. 反射光1、2的光程差

$$\delta = n_2(AB + BC) - n_1 AD + \frac{\lambda}{2}$$

$$n_1 \sin i = n_2 \sin r$$

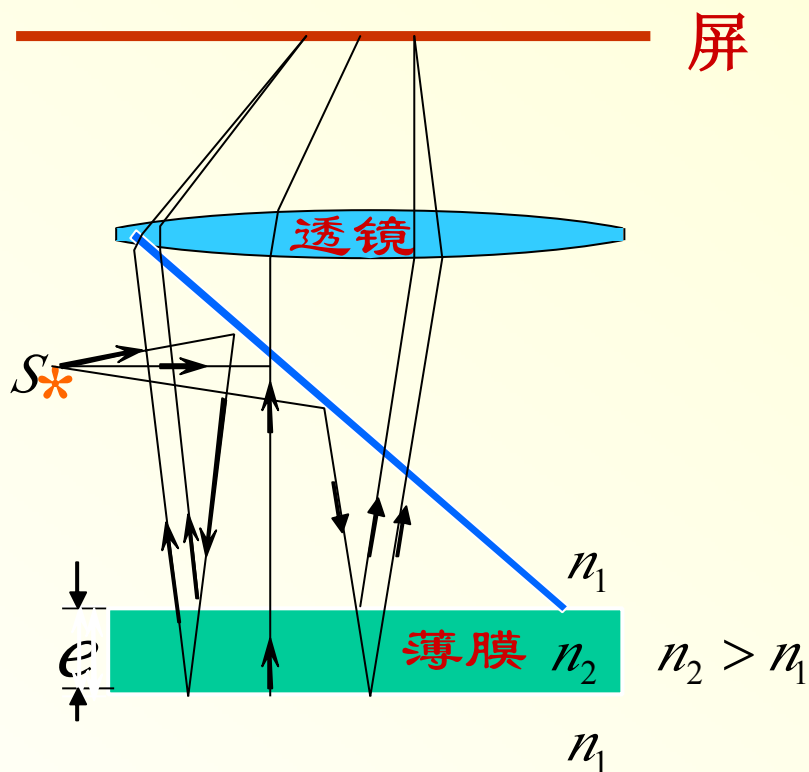
$$= 2e\sqrt{n_2^2 - n_1^2 \sin^2 i} + \frac{\lambda}{2} \begin{cases} = k\lambda, & k=1,2,3\dots \text{明} \\ = (2k+1)\frac{\lambda}{2}, & k=0,1,2\dots \text{暗} \end{cases}$$

~~$n_1 \sin i = n_2 \sin r$~~ ~~$\delta = 2n_2 e \cos r$~~ ——等倾干涉



*实验装置和现象:

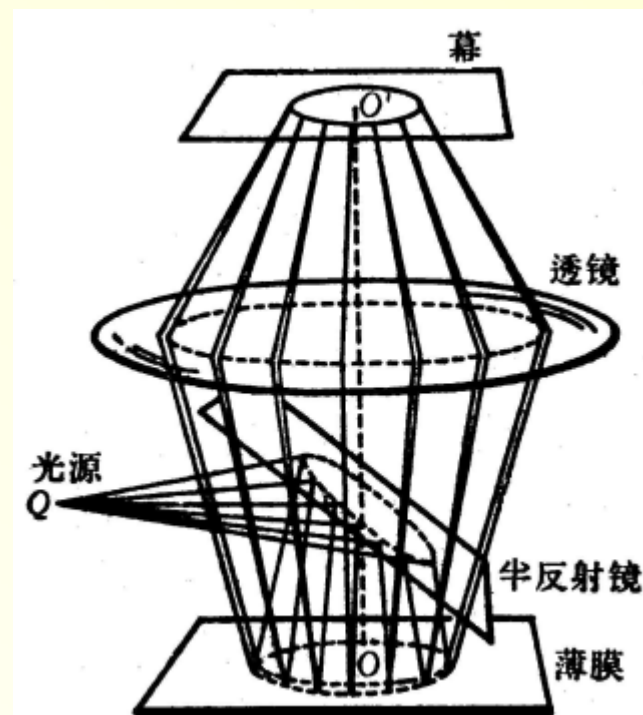
单色点光源



同一 i 对应同一级条纹——圆环

不同 i 对应的干涉条纹——

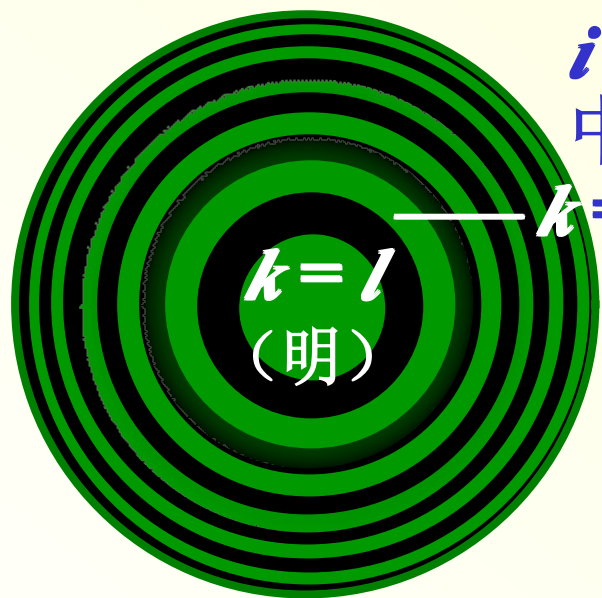
一组同心圆



反射光 $\delta = 2e\sqrt{n_2^2 - n_1^2 \sin^2 i} + \left(\frac{\lambda}{2}\right)$

$$\delta = \begin{cases} k\lambda & (k=1, 2, 3 \dots) \text{亮} \\ (2k+1)\lambda/2 & (k=0, 1, 2 \dots) \text{暗} \end{cases}$$

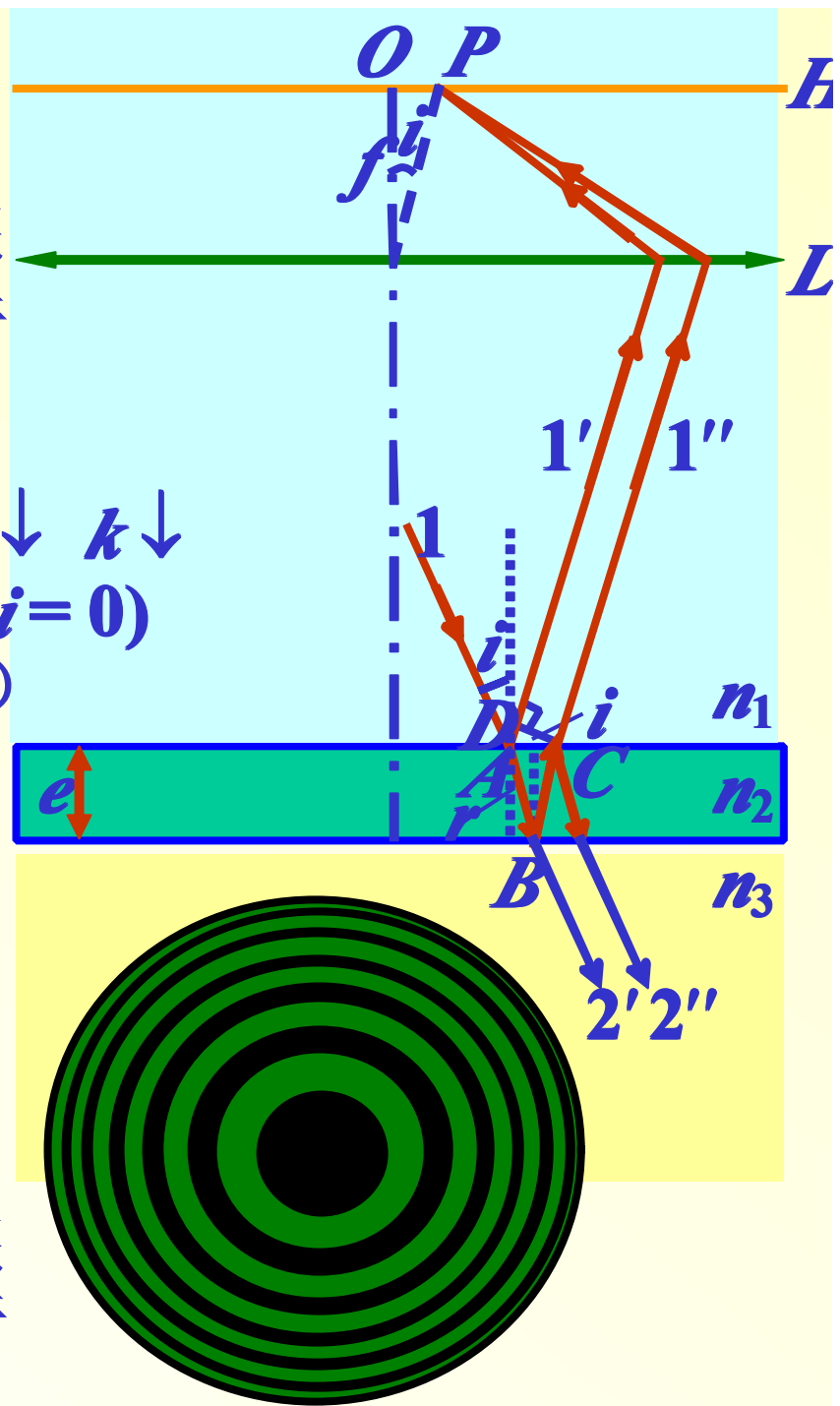
k —— 干涉级



$i \uparrow \sin i \uparrow \delta \downarrow k \downarrow$
中心级次高 ($i=0$)
 $k = l - 1$ (明)

透射光 $\delta = 2e\sqrt{n_2^2 - n_3^2 \sin^2 i}$

$$\delta = \begin{cases} k\lambda & (k=0, 1, 2 \dots) \text{亮} \\ (2k+1)\lambda/2 & (k=0, 1, 2 \dots) \text{暗} \end{cases}$$



***条纹特点:**

$$\delta = 2e\sqrt{n_2^2 - n_1^2 \sin^2 i} + \frac{\lambda}{2} \begin{cases} = k\lambda, & k=1,2,3... \text{ 明} \\ = (2k+1)\frac{\lambda}{2}, & k=0,1,2... \text{ 暗} \end{cases}$$

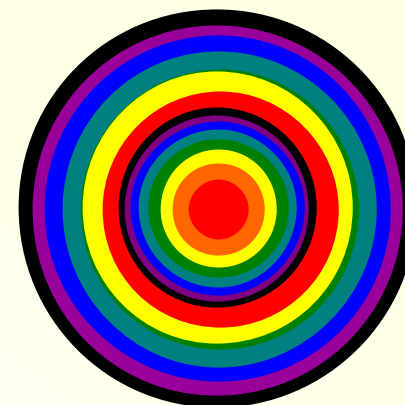
1) e 一定:

$\begin{cases} i \uparrow, \delta \downarrow, k \downarrow & \text{外圈级数低} \\ i \downarrow, \delta \uparrow, k \uparrow & \text{内圈级数高} \end{cases}$

中心处: $i=0$, 级数最高

2) 条纹间距内疏外密, 非线性变化(k 和 i 非线性)

(3) 白光入射, 彩色条纹形成。



[例13-8] 白光下，观察一层折射率 $n=1.30$ 的薄油膜，若观察方向与油膜表面法线成 30° 角时，可看到油膜成兰色（波长为 480nm ），试求油膜的最小厚度？如果从油膜法线方向观察，反射光成什么颜色？

[解] 根据明纹条件：
$$\delta = 2e\sqrt{n_2^2 - n_1^2 \sin^2 i} + \frac{\lambda}{2} = k\lambda$$

$$e = \frac{(2k-1)\lambda}{4\sqrt{n^2 - \sin^2 i}} = (2k-1) \times 1.0 \times 10^{-7} \text{ m}$$

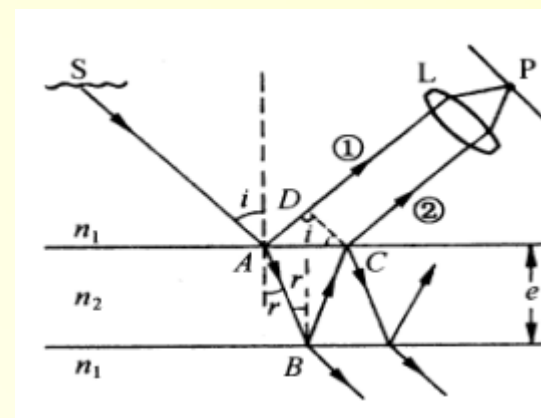
$$\therefore e_{\min} = 1.0 \times 10^{-7} \text{ m}$$

若从法线方向观察： $i=0 \rightarrow 2ne + \frac{\lambda}{2} = k\lambda$

$$k=1, \lambda_1 = 520\text{nm} \text{ (绿光)}$$

$$k=2, \lambda_2 = 173\text{nm} \text{ (紫外光)}$$

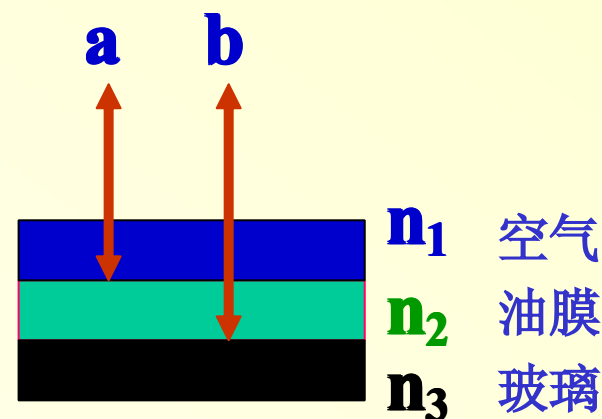
在法线方向观察为绿光



例:可调平面单色光垂直照射在厚度均匀的油膜上,油膜覆盖在玻璃上,观察到**500nm**与**700nm**二波长的光在反射中消失.已知玻璃的 **$n=1.5$** .

若 (1) $n_{\text{油}}=1.30$ (2) $n_{\text{油}}=1.60$

求: 二种情况下油膜的最小厚度。



解 (1) $\because n_1 < n_2 < n_3$

$$\left. \begin{aligned} \delta_{\text{反}} &= 2en_2 = (2k_1 + 1)\frac{\lambda_1}{2} \\ \delta_{\text{反}} &= 2en_2 = (2k_2 + 1)\frac{\lambda_2}{2} \end{aligned} \right\} 5k_1 = 7k_2 + 1 \left\{ \begin{aligned} K_1 &= 3 \\ K_2 &= 2 \end{aligned} \right.$$

得: $e = 6.73 \times 10^{-4} \text{ mm}$

解 (2) $\because n_1 < n_2 > n_3$

$$\left. \begin{aligned} \delta_{\text{反}} &= 2en_2 + \frac{\lambda_1}{2} = (2k_1 + 1) \frac{\lambda_1}{2} \\ \delta_{\text{反}} &= 2en_2 + \frac{\lambda_2}{2} = (2k_2 + 1) \frac{\lambda_2}{2} \end{aligned} \right\} \begin{aligned} K_1 &= 7 \\ K_2 &= 5 \end{aligned}$$

得: $e = 1.09 \times 10^{-3} \text{ mm}$

※增透膜和增反膜

增透膜——对某一波长，使其反射光干涉减弱

增反膜——对某一波长，使其反射光干涉加强

例1：在照相机镜头上涂一层 $n_2=1.38$ 氟化镁膜，要求人眼最敏感的波长 $\lambda = 5500\text{\AA}$ 的黄绿光反射最小，问最小厚度是多少？

解： $\delta = 2e\sqrt{n_2^2 - n_1^2 \sin^2 i} = (2k+1)\frac{\lambda}{2} \quad (k=0, 1, 2 \dots)$

无 $\lambda/2$

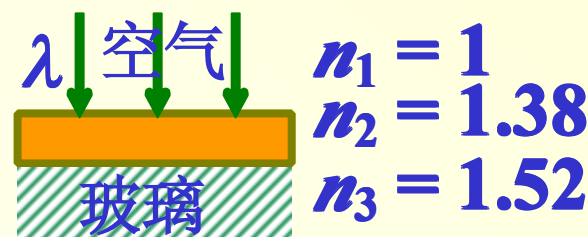
$$n_3 > n_2 > n_1$$

一般使用 $i=0$

$$\delta = 2n_2e = (2k+1)\frac{\lambda}{2} \quad e = \frac{(2k+1)\lambda}{4n_2}$$

$$k=0 \quad e_{\min} = \lambda/4n_2 = \frac{5500 \times 10^{-10}}{4 \times 1.38} = 9.96 \times 10^{-8} \text{ (m)}$$

形成暗纹



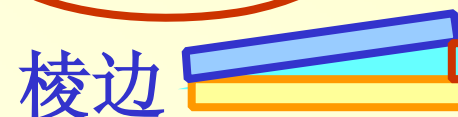
二、等厚干涉 —— 上下表面不平行的薄膜干涉

n_1 介质
下表面

n_3 介质
上表面

n_2 介质

1. 劈尖干涉：折射率 n_2 ，微小夹角 θ

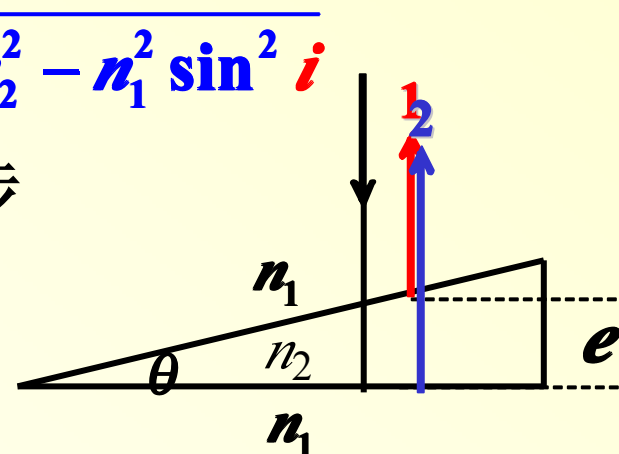


* 平行光 \perp 入射： $i = 0$ $\delta = 2e\sqrt{n_2^2 - n_1^2 \sin^2 i}$

讨论上、下表面反射光 1、2 的干涉

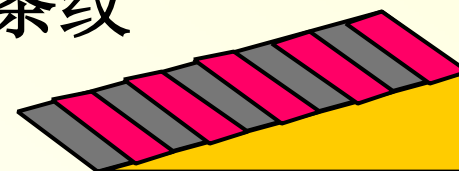
1、2 光程差：

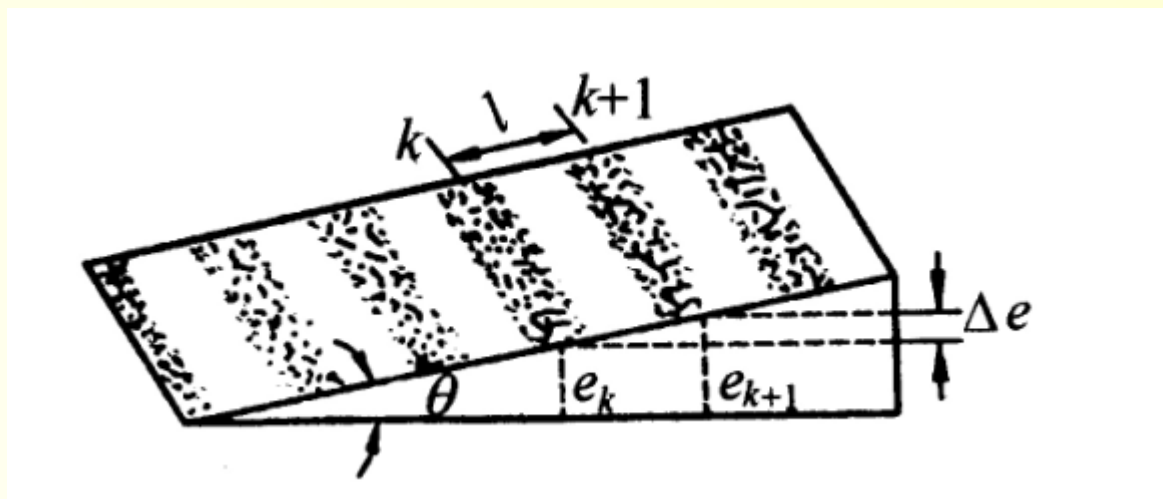
$$\delta = 2n_2 e_k + \frac{\lambda}{2} = \begin{cases} k\lambda & \text{明 (加强)} \\ (2k+1)\frac{\lambda}{2} & \text{暗 (相消)} \end{cases}$$



$e \uparrow$ $\delta \uparrow$ $k \uparrow$
远离棱边 (e 愈大) 级次高

$$e_k = \begin{cases} \frac{2k+1}{4n_2} \lambda & \text{明} \\ \frac{k\lambda}{2n_2} & \text{暗} \end{cases} \quad \left. \vphantom{\begin{matrix} \text{明} \\ \text{暗} \end{matrix}} \right\} \text{同一厚度对应同一级条纹}$$





$$e_k = \begin{cases} \frac{2k+1}{4n} \lambda & \text{明} \\ \frac{k\lambda}{2n} & \text{暗} \end{cases}$$

讨论： 相邻明或暗条纹对应的厚度差：

$$\Delta e = e_{k+1} - e_k = \frac{\lambda}{2n}$$

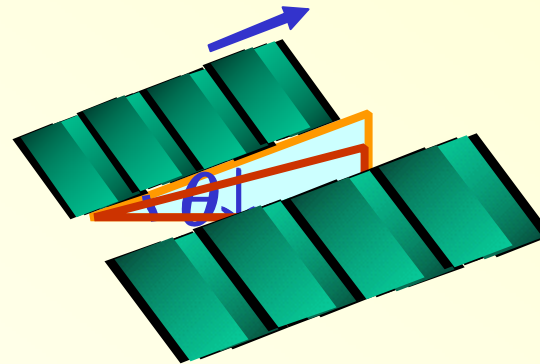
相邻明或暗条纹的间距 l ：

$$l \sin \theta = \Delta e \rightarrow l = \frac{\lambda}{2n \sin \theta} \approx \frac{\lambda}{2n\theta}$$

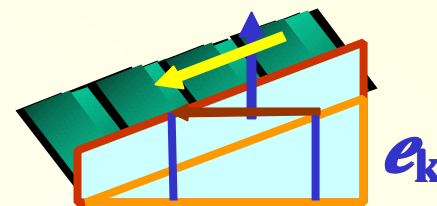
$$l \approx \frac{\lambda}{2n_2\theta} \quad e_k = \begin{cases} \frac{2k+1}{4n} \lambda & \text{明} \\ \frac{k\lambda}{2n} & \text{暗} \end{cases}$$

条纹动态分析

- $\theta \downarrow$, 条纹扩展



- e 均匀 \uparrow ,
棱边条纹淹没



$$\Delta e = \frac{\lambda}{2n_2}$$

厚度每改变 $\lambda/2n_2$
即有一条纹移过

利用劈尖干涉测量折射率，微小长度、角度及变化，

$$l \equiv \frac{\lambda}{2n \sin \theta} \approx \frac{\lambda}{2n\theta}$$

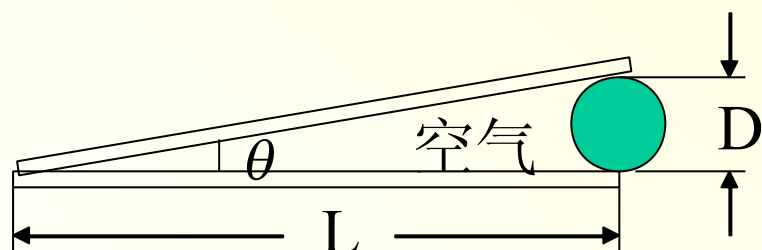
测量金属丝的直径

已知： $\lambda = 589.3 \text{ nm}$

$L = 28.880 \text{ mm}$

30条明条纹的距离为 4.295 mm

求： $D = ?$



解： $D = L \tan \theta = L \cdot \theta$

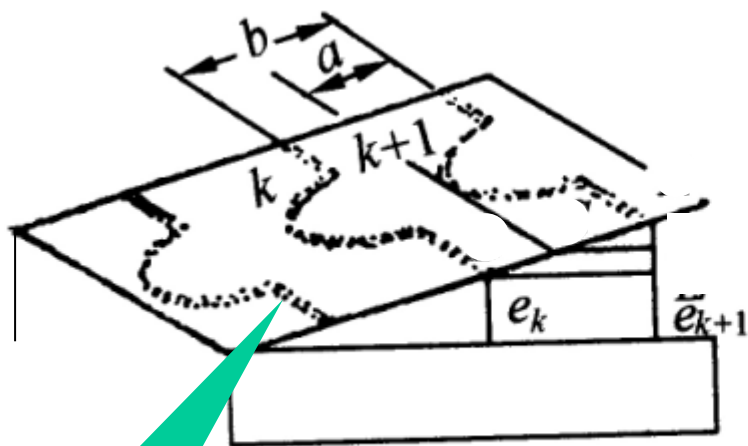
$$l = \frac{\lambda}{2 \cdot \theta}$$

$$l = \frac{4.295}{29}$$

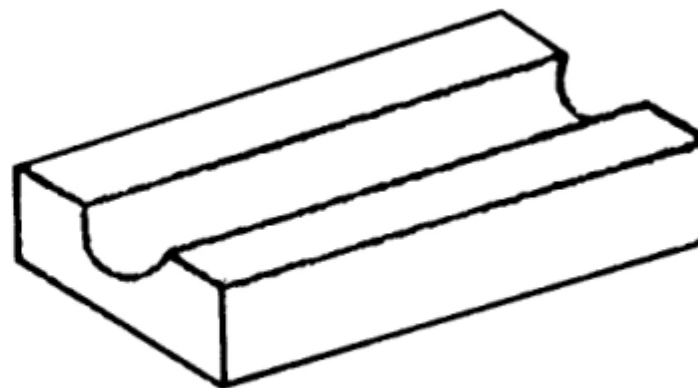
$$D = \frac{L}{l} \cdot \frac{\lambda}{2} = 0.05746 \text{ mm}$$

30 条有29 个间距

检测表面平整度等

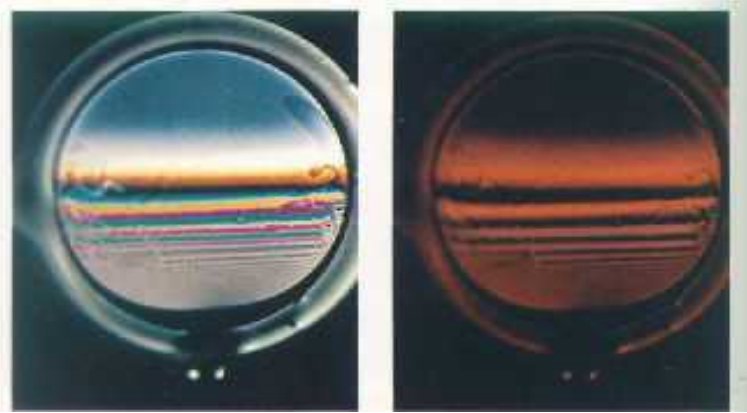


(a)



(b)

等厚线



白光入射

单色光入射

肥皂膜的等厚干涉条纹

白光经肥皂膜的干涉 (KG001)

40

一个竖直肥皂薄膜，由于重力的作用，其厚度从顶部到底部逐渐增加。

明亮的白光照在薄膜上，但由于薄膜的顶部太薄以至于是暗的。

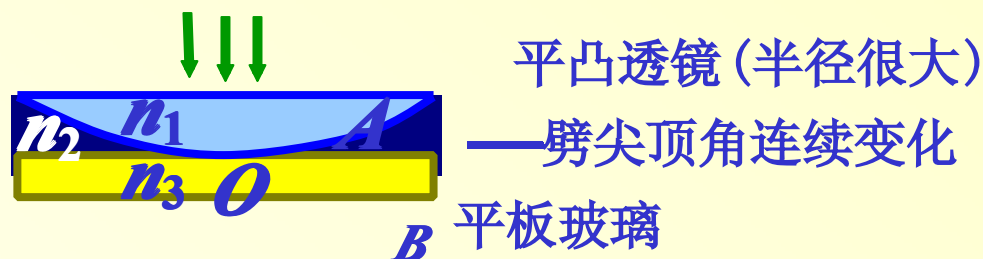
在中部，（稍微厚一点）我们看到了干涉条纹带，它们的颜色取决于在特定厚度处产生完全相长干涉的光反射的波长。

对于薄膜底部，由于条纹渐密，因而颜色开始叠加并逐渐褪去。

2. 牛顿环:

1) 装置

2) 条纹特点



空气层上下表面发射光之间的光程差:

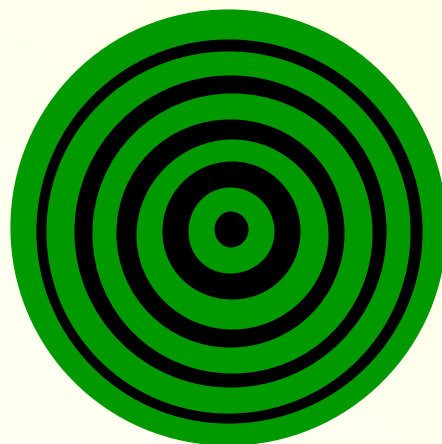
$$\delta = 2e + \frac{\lambda}{2} = \begin{cases} k\lambda & k=1,2,\dots \text{ 明} \\ (2k+1)\frac{\lambda}{2} & k=0,1,2,\dots \text{ 暗} \end{cases}$$

*等厚点的轨迹是一组同心圆 { 条纹级次内低外高
条纹内疏外密

理想接触点 O :

$$e = 0,$$

$$\delta = \frac{\lambda}{2} \longrightarrow \text{暗点}$$



—— 牛顿环

如果没有半波损失呢?

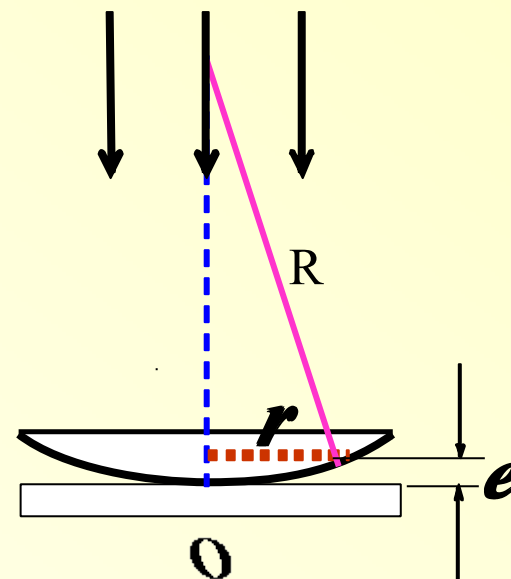
***牛顿环半径:**

$$r^2 = R^2 - (R - e)^2 = 2Re - e^2 \approx 2Re$$

$$\delta = 2e + \frac{\lambda}{2} = \begin{cases} k\lambda & k=1,2,\dots \text{ 明} \\ (2k+1)\frac{\lambda}{2} & k=0,1,2,\dots \text{ 暗} \end{cases}$$

→
$$\begin{cases} k\text{级明纹: } r_k^2 = \frac{(2k-1)}{2} R\lambda \\ k\text{级暗纹: } r_k^2 = kR\lambda \end{cases}$$

$$r_{k+m}^2 - r_k^2 = mR\lambda \longrightarrow \text{实验测量 } R \text{ 或 } \lambda$$



例：牛顿环试验中，在平凸透镜和平板玻璃间放入折射率为 n 的介质后，原第三级明环变为第四级暗环，
求：介质的折射率 n 值。

$$\delta = 2ne + \frac{\lambda}{2} = \begin{cases} k\lambda & \text{明} \\ (2k+1)\frac{\lambda}{2} & \text{暗} \end{cases}$$

解：空气层： $\delta = 2e + \frac{\lambda}{2} = 3\lambda$

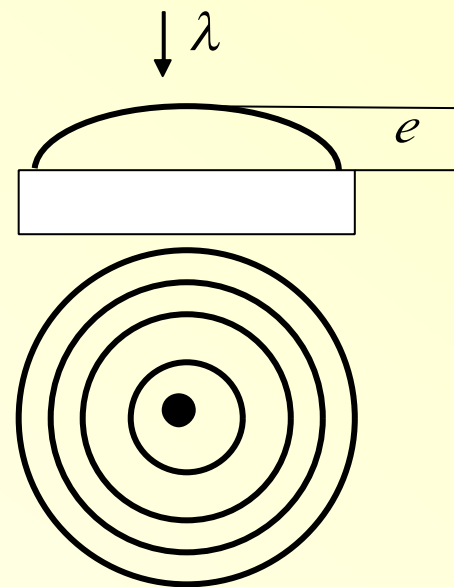
介质层： $\delta' = 2ne + \frac{\lambda}{2} = (2 \times 4 + 1)\frac{\lambda}{2}$

→ $n = 1.6$



[例13-7] 一块平板玻璃上有一滴油滴，在 $\lambda = 576nm$ 的单色光垂直照射下，从反射光中看到如图干涉条纹，已知油 $n_2 = 1.60$ ，玻璃 $n_3 = 1.50$ ，试求：

- (1) 油膜与玻璃交界处是明纹还是暗纹？
- (2) 油膜的最大厚度？
- (3) 若油膜逐渐摊开，条纹如何变化？



[解] (1) $\because n_1 < n_2 > n_3$

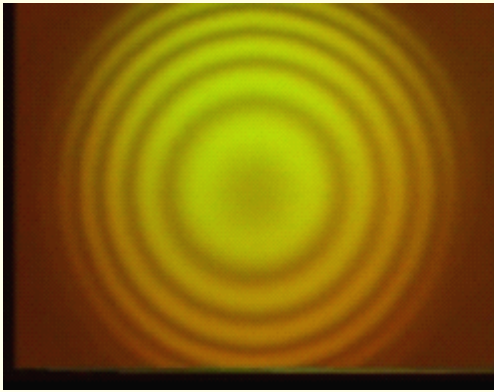
\therefore 交界处($e=0$)为暗纹

(2) 外圆环：0级暗纹，中心点：第4级暗纹 ($k=4$)

$$2n_2e + \frac{\lambda}{2} = (2k+1)\frac{\lambda}{2} \rightarrow e = \frac{k\lambda}{2n_2} = \frac{4 \times 576 \times 10^{-9}}{2 \times 1.6} = 7.2 \times 10^{-7} m$$

(3) 油膜向外摊开，最外暗环向外扩大，中心点明暗变化；最大厚度减小，条纹级数减少。

等倾干涉条纹和牛顿环(等厚)条纹比较:

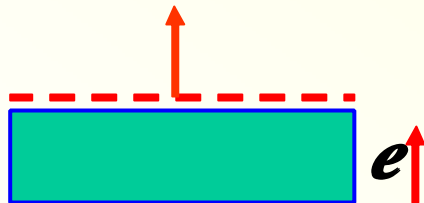


等倾 $\delta = f(i)$

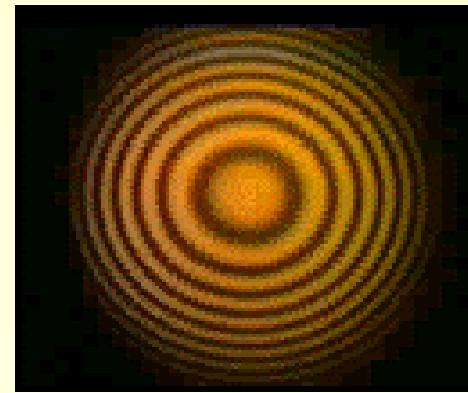
$$(1) \delta = 2e\sqrt{n_2^2 - n_1^2 \sin^2 i} + \frac{\lambda}{2} = k\lambda$$

往中心 $i \downarrow, \delta \uparrow, k \uparrow$
级数内高外低

(2)



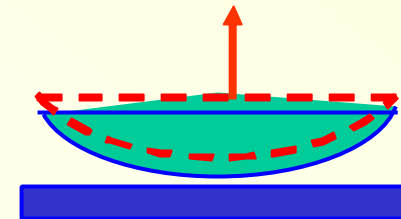
条纹向外扩展,
中心冒出



牛顿环 $\delta = f(e)$

$$\delta = 2e + \frac{\lambda}{2} = k\lambda \quad (i = 0)$$

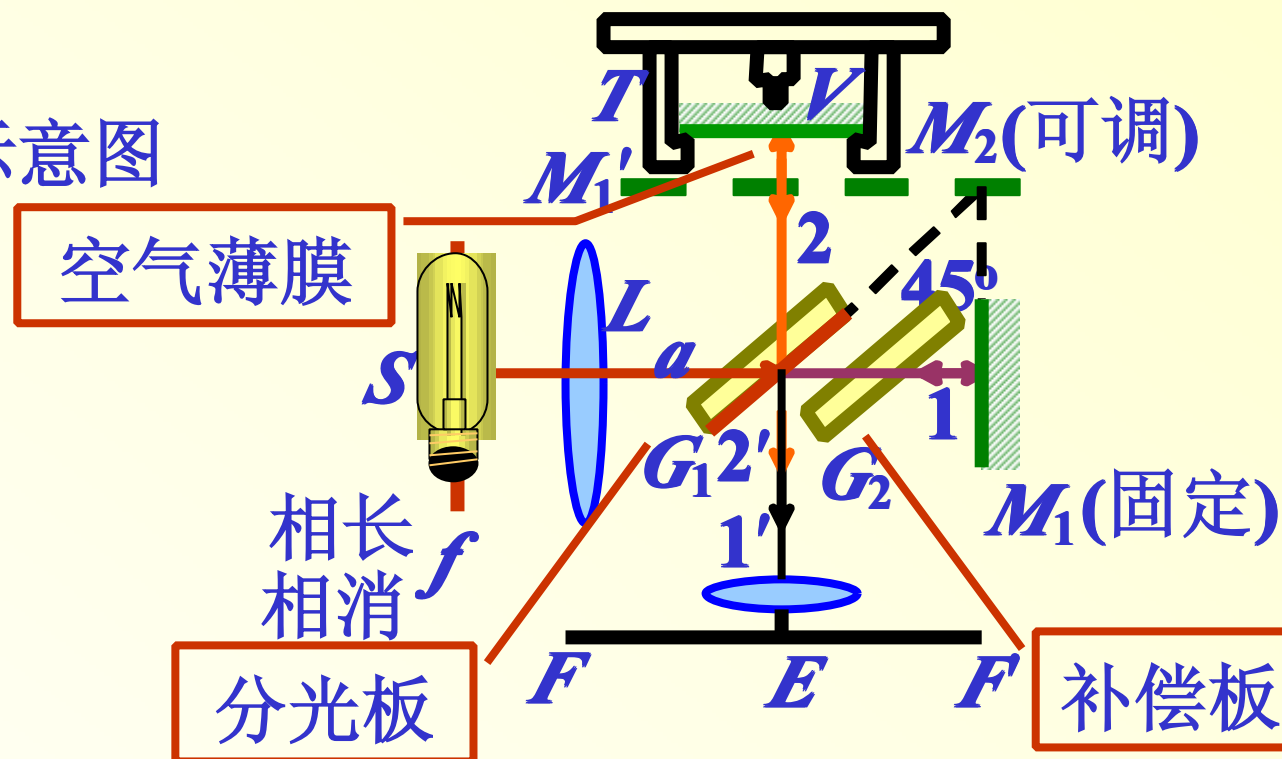
往中心 $e \downarrow, \delta \downarrow, k \downarrow$
级数内低外高



条纹向内收缩,
中心陷入

§ 3.8 迈克尔逊干涉仪 干涉现象的应用

- (1881年)
➤ 实验装置示意图



- 工作原理

$$\delta = 2e\sqrt{n_2^2 - n_1^2 \sin^2 i} \quad n_2 = n_1 = 1$$

$$\therefore \delta = 2e \cos i = \begin{cases} k\lambda \\ (2k+1)\lambda/2 \end{cases} \quad (k=0, 1, 2 \dots)$$

中心吐出的
明条纹数目

$$\Delta d = \Delta N \cdot \frac{\lambda}{2}$$